



รายงานการวิจัย

โครงการวิจัยเรื่อง ภาษาไทย การสร้างชุดทดลอง เรื่องไฟฟ้ากระแสสลับ แบบลงมือปฏิบัติ

ภาษาอังกฤษ The Alternating Circuit modules base on Hands-on activities

คณะผู้วิจัย

1. นายศุภศิลป์ เพื่องพุ่ง
2. นายอภิชาติ พองพา

โครงการวิจัยทุนสนับสนุนงานวิจัยของมหาวิทยาลัยเทคโนโลยีราชมงคลกรุงเทพ

งบประมาณแผ่นดิน ปี พ.ศ. 2557

มหาวิทยาลัยเทคโนโลยีราชมงคลกรุงเทพ



รายงานการวิจัย

โครงการวิจัยเรื่อง ภาษาไทย การสร้างชุดทดลอง เรื่องไฟฟ้ากระแสสลับ แบบลงมือปฏิบัติ
ภาษาอังกฤษ The Alternating Circuit modules base on Hands -on activities

คณะผู้วิจัย

- 1.นายศุภศิลป์ เพื่องฟูง
- 2.นายอภิชาติ พองพลา

โครงการวิจัยทุนสนับสนุนงานวิจัยของมหาวิทยาลัยเทคโนโลยีราชมงคลกรุงเทพ
งบประมาณแผ่นดิน ปี พ.ศ. 2557
มหาวิทยาลัยเทคโนโลยีราชมงคลกรุงเทพ

กิตติกรรมประกาศ

งานวิจัยเรื่อง ชุดทดลองไฟฟ้ากระแสสลับแบบลงมือปฏิบัติ เป็นงานวิจัยที่ได้รับการสนับสนุนจากงบประมาณแผ่นดิน ปี 2557 ซึ่งได้แล้วเสร็จเรียบร้อยแล้ว ทางคณะผู้วิจัย ประกอบด้วย นายศุภศิลป์ เพื่องฟุ่ง หัวหน้าโครงการวิจัย และ นายอภิชาติ พองพลา ผู้ช่วยวิจัย ขอขอบพระคุณทางสถาบันวิจัยและพัฒนา มหาวิทยาลัยเทคโนโลยีราชมงคลธัญเทพ ที่ได้คุ้ยเลตั้งแต่การรับสมัครทุนวิจัย การทำสัญญา การติดตามความก้าวหน้าของงานวิจัย และ ทางกองคลังที่ช่วยคูดการเบิกจ่าย และ ให้คำแนะนำในการใช้จ่ายเงินวิจัยให้มีประสิทธิภาพสำหรับงานวิจัยมากที่สุด



บทคัดย่อภาษาไทย

งานวิจัยเรื่อง ชุดทดลองไฟฟ้ากระแสสลับ แบบลงมือปฏิบัติ เป็นชุดทดลองเพื่อช่วยให้นักศึกษามีความเข้าใจในเรื่องไฟฟ้ากระแสสลับ ประกอบด้วย (1) การวัดค่ากระแสไฟฟ้าและความต่างศักย์ของตัวต้านทาน ตัวเหนี่ยวนำ และ ตัวเก็บประจุไฟฟ้า เมื่อใช้แหล่งจ่ายไฟฟ้ากระแสสลับ และศึกษาผลของความถี่จากแหล่งจ่ายไฟฟ้ากระแสสลับกับค่าความต้านทาน ความต้านทานเชิงเหนี่ยวนำ (X_L) และ ความต้านทานเชิงความจุ (X_C) โดยผลจากการทดลองพบว่า ความถี่ไม่มีผลต่อค่าความต้านทาน ความต้านทานเชิงเหนี่ยวนำ (X_L) มีค่าเพิ่มขึ้นตามค่าความถี่จากแหล่งกำเนิด และความต้านทานเชิงความจุ (X_C) มีค่าลดลงเมื่อเพิ่มค่าความถี่จากแหล่งกำเนิด (2) การวัดมุมเฟสของกระแสไฟฟ้าและความต่างศักย์ของวงจรอนุกรม RLC และ มุมเฟสระหว่างกระแสไฟฟาร่วมและความต่างศักย์รวม โดยผลจากการการวัดค่าจากชุดทดลองได้ผลดังนี้ $I_{\text{รวม}} = 3.98 \text{ mA}$, $V_R = 3.85 \text{ V}$, $V_L = 2.43 \text{ V}$, $V_C = 4.41 \text{ V}$ และ มุมเฟส = 27.27 องศา และ (4) การวัดค่ากระแสไฟฟ้าและความต่างศักย์ของวงจรขนาน RLC และ มุมเฟสระหว่างกระแสไฟฟาร่วมและความต่างศักย์รวม โดยผลจากการการวัดค่าจากชุดทดลองได้ผลดังนี้ $I_{\text{รวม}} = 11.93 \text{ mA}$, $I_R = 4.94 \text{ A}$, $I_L = 7.89 \text{ A}$, $I_C = 17.57 \text{ A}$ และ มุมเฟส = 67.50 องศา



บทคัดย่อภาษาอังกฤษ

The Alternating Circuit modules base on Hands -on activities is the board for help student understanding in alternating circuit. The experiment on circuit modules consist of (1) measuring alternating voltage and current of resistor, inductor and capacitor. Later, studying frequency from AC source with resistance (R), inductive reactance (X_L) and capacitive reactance (X_C). For result, frequencies from AC source do not effect to resistance (R). However, inductive reactance (X_L) and capacitive reactance (X_C) depends on frequency from AC source: frequency increase and inductive reactance (X_L) increase, frequency increase and capacitive reactance (X_C) decrease. (2) Phase angle of alternating voltage and current of resistor, inductor and capacitor. (3) Measuring alternating voltage and current of RLC series circuit, phase angle between total alternating voltage and current. The results are $I_{\text{total}} = 3.98 \text{ mA}$, $V_R = 3.85 \text{ V}$, $V_L = 2.43 \text{ V}$, $V_C = 4.41 \text{ V}$ and phase angle = 27.27 degree. Finally, (4) Measuring alternating voltage and current of RLC parallel circuit, phase angle between total alternating voltage and current, phase angle between total alternating voltage and current. The results are $I_{\text{total}} = 11.93 \text{ mA}$, $I_R = 4.94 \text{ A}$, $I_L = 7.89 \text{ A}$, $I_C = 17.57 \text{ A}$ and phase angle = 67.50 degree.

สารบัญเรื่อง

บทที่	หน้า
บทที่ 1 บทนำ	
1.1 ความสำคัญของปัญหา	11
1.2 ปัญหาที่ทำการวิจัย	11
1.3 วัตถุประสงค์ของโครงการวิจัย	13
1.4 ขอบเขตของโครงการวิจัย	13
1.5 ประโยชน์ที่คาดว่าจะได้รับ	13
บทที่ 2 บททวนวรรณกรรมและงานวิจัยที่เกี่ยวข้อง	
2.1 การสอนแบบลงมือปฏิบัติ	14
2.2 วงจรไฟฟ้ากระแสสลับ	17
2.2.1 ค่าบั้งผลของกระแสและความต่างศักย์ (Root Mean Square, RMS)	18
2.2.2 การต่ออุปกรณ์ไฟฟ้ากับแหล่งจ่ายไฟฟ้ากระแสสลับ	19
2.3 วงจร RLC แบบอนุกรมและขนาน	20
2.3.1 วงจร RLC แบบอนุกรม	20
2.3.2 วงจร RLC แบบขนาน	22
2.4 วรรณกรรมที่เกี่ยวข้อง	23
บทที่ 3 วิธีการวิจัย	
3.1 วิธีการดำเนินการวิจัย	29
3.1.1 ค้นคว้า รวบรวม ศึกษาข้อมูลและงานวิจัยที่เกี่ยวข้อง	29
3.1.2 ออกแบบการทดลอง	29
3.1.3 สร้างชุดทดลองและศึกษาผลของปัจจัยต่าง ๆ	30
3.1.4 อุปกรณ์และวิธีการทดลอง	31

สารบัญเรื่อง (ต่อ)

3.2 วิธีการทดลอง

การทดลองที่ 1 ความสัมพันธ์ระหว่างความถี่ของไฟฟ้ากระแสสลับกับค่า	33
ความต้านทานของตัวต้านทาน ตัวเก็บประจุ และตัวดัด漉เดนี่ยวน้ำ	
การทดลองที่ 2 ความต่างเพรสซิ่งระหว่างความต่างศักย์กับกระแสไฟฟ้าใน	34
วงจรไฟฟ้ากระแสสลับ	
การทดลองที่ 3 การวิเคราะห์วงจร RLC แบบอนุกรมในไฟฟ้ากระแสสลับ	36
การทดลองที่ 4 การวิเคราะห์วงจร RLC แบบขนานในไฟฟ้ากระแสสลับ	37

บทที่ 4 ผลการวิจัย

ผลการทดลองตอนที่ 1 ความสัมพันธ์ระหว่างความถี่ของไฟฟ้ากระแสสลับกับค่า	39
ความต้านทาน ความต้านทานเชิงเหนี่ยวน้ำ และ ความต้านทานเชิงความจุ	
ผลการทดลองตอนที่ 2 ความต่างเพรสซิ่งระหว่างความต่างศักย์กับกระแสไฟฟ้า	43
ในวงจรไฟฟ้ากระแสสลับ	
ผลการทดลองตอนที่ 3 วงจร RLC อนุกรม	44
ผลการทดลองตอนที่ 4 วงจร RLC ขนาน	46

บทที่ 5 สรุปผลการวิจัยและข้อเสนอแนะ

สรุปผลการทดลองตอนที่ 1 ความสัมพันธ์ระหว่างความถี่ของไฟฟ้ากระแสสลับกับ	49
ค่าความต้านทาน ความต้านทานเชิงเหนี่ยวน้ำ และ ความต้านทานเชิงความจุ	
สรุปผลการทดลองตอนที่ 2 ความต่างเพรสซิ่งระหว่างความต่างศักย์กับกระแสไฟฟ้า	51
ในวงจรไฟฟ้ากระแสสลับ	

สรุปผลการทดลองตอนที่ 3 วงจร RLC อนุกรม	52
สรุปผลการทดลองตอนที่ 4 วงจร RLC ขนาน	52

บรรณานุกรม

53

สารบัญตาราง

ตารางที่ 4.1 แสดงความสัมพันธ์ระหว่างความถี่และความต้านทาน (ใช้ตัวต้านทาน 330 โอห์ม)	39
ตารางที่ 4.2 แสดงความความต้านทานหลาຍค่ากับความถี่จากแหล่งกำเนิดสัญญาณคงที่ (ใช้ความถี่ 1000 เฮิรตซ์)	40
ตารางที่ 4.3 แสดงความสัมพันธ์ระหว่างความถี่และความต้านทานเชิงหนี้ยวนำ (ใช้ $L = 300 \text{ mH}$)	40
ตารางที่ 4.4 แสดงความความหนี้ยวนำหลาຍค่ากับความถี่จากแหล่งกำเนิดสัญญาณคงที่ (ใช้ความถี่ 600 เฮิรตซ์)	41
ตารางที่ 4.5 แสดงความสัมพันธ์ระหว่างความถี่และความต้านทานเชิงหนี้ยวกวามจุ (ใช้ $C = 0.47 \text{ ไมโครฟาร์ด}$)	42
ตารางที่ 4.6 แสดงความความจุไฟฟ้าหลาຍค่ากับความถี่จากแหล่งกำเนิดสัญญาณคงที่ (ใช้ความถี่ 600 เฮิรตซ์)	42
ตารางที่ 4.7 แสดงกระแสไฟฟ้า ความต่างศักย์ และ มุมเฟสระหว่าง V – I ของวงจร RLC แบบอนุกรม	44
ตารางที่ 4.8 แสดงกระแสไฟฟ้า ความต่างศักย์ และ มุมเฟสระหว่าง V – I ของวงจร RLC แบบขนาน	46
ตารางที่ 5.1 แสดงผลของค่าความต้านทานเชิงหนี้ยวนำเมื่อคำนวณด้วยกฎของโอล์ม และ $X_L = 2\pi fL$	50
ตารางที่ 5.2 แสดงผลของค่าความต้านทานเชิงความจุไฟฟ้าเมื่อคำนวณด้วย กฎของโอล์ม และ $X_C = \frac{1}{2\pi fC}$ โดยที่ค่าความจุไฟฟ้าคงตัว	50
ตารางที่ 5.3 แสดงค่าความต้านทานเชิงความจุไฟฟ้า (X_C) เมื่อคำนวณโดยใช้กฎของโอล์ม และ $X_C = \frac{1}{2\pi fC}$ เมื่อใช้ความถี่จากแหล่งกำเนิดสัญญาณไฟฟ้ากระแสสลับคงที่ที่ 600 เฮิรตซ์	51

สารบัญตาราง (ต่อ)

ตารางที่ 5.4 แสดงค่าของกระแสไฟฟ้า ความต่างศักย์คร่อมตัวด้านหน้า ตัวหนีบวนนำ และ ตัวเก็บประจุไฟฟ้า และ ความต่างเฟส สำหรับวงจร RLC แบบอนุกรม	52
ตารางที่ 5.5 แสดงค่าของกระแสไฟฟ้า ความต่างศักย์คร่อมตัวด้านหน้า ตัวหนีบวนนำ และ ตัวเก็บประจุไฟฟ้า และ ความต่างเฟส สำหรับวงจร RLC แบบขนาน	52



สารบัญภาพ

รูปที่ 1.1 แสดงແຜງທົດລອງ ໄຟຟ້າກະແສສລັບ (ຫ້າຍ) ແລະ ແສດງຈຸດເຊື່ອມຕ່ອຂອງສາຍໄຟໄຕ້ແຜງວົງຈານ (ຂວາ)	12
ຮູບທີ 2.1 ແສດງພິຣາມີດຂອງການເຮັບໃນ (Learning Pyramid)	15
ຮູບທີ 2.2 ແສດງພິຣາມີດຂອງການເຮັບໃນ (Learning Pyramid) ແບກາພຣວມ	16
ຮູບທີ 2.3 ແສດງແຫຼ່ງກຳເນີດໄຟຟ້າກະແສສລັບ (AC generator) ປະກອບດ້ວຍຫຼຸດລວດ ໜຸນຝ່ານບຣີເວນທີ່ມີສານແມ່່ເຫັນ	17
ຮູບທີ 2.4 ຄວາມຕ່າງສັກຍົງຂອງແຫຼ່ງກຳເນີດໄຟຟ້າກະແສສລັບ (AC source) ມີລັກນະ ເປັນຮູບ sine ແລະ T ດື່ອ ເວລາທີ່ກວນ 1 ຮອບຂອງສັນຍາລຸ່ມ	18
ຮູບທີ 2.5 ກາຮຊຂອງກະແສໄຟຟ້າທີ່ຝ່ານຕ້ານທານຍກກຳລັງສອງເປັນຟັງກໍ່ໜັກກັບຄ່າເວລາ	
ໂດຍທີ່ $i^2 = \frac{I_{\max}^2}{2}$	19
ຮູບທີ 2.6 ແສດກາຣຕ່ອ RLC ແບບອຸນຸກຣນ ກັບແຫຼ່ງຈ່າຍໄຟຟ້າກະແສສລັບ	20
ຮູບທີ 2.7 (ກ) ແສດງແຜນກາພ Phasor diagram ຮະຫວ່າງຄວາມຕ່າງສັກຍົງກ່ຽວມູນອຸປະກຣນີແຕ່ລະຕົວ ກັບກະແສໄຟຟ້າທີ່ໄຫລຝ່ານວົງຈານ ແລະ (ຂ) ແສດກາຣຫາຄ່ານຸມເຟສຂອງວົງຈານ RLC ອຸນຸກຣນ	21
ຮູບທີ 2.8 ແສດກາຣຕ່ອ RLC ແບບຂານານ ກັບແຫຼ່ງຈ່າຍໄຟຟ້າກະແສສລັບ	22
ຮູບທີ 2.9 ແສດງແຜນກາພ Phasor Diagram ຮະຫວ່າງຄວາມຕ່າງສັກຍົງແລະກະແສໄຟຟ້າ ທີ່ໄຫລຝ່ານອຸປະກຣນີແຕ່ລະຕົວໃນວົງຈານ RLC ແບບຂານານ	22
ຮູບທີ 2.10 ແສດງໜ້າປົກຂອງໜັນສື່ອ Physics for scientists and engineers with modern physics ແຕ່ງໂດຍ Raymond A.Serway ແລະ John W.Jewett, Jr.	24
ຮູບທີ 2.11 ແສດງໜ້າປົກຂອງໜັນສື່ອ Experiments In DC/AC Circuits With Concepts ແຕ່ງໂດຍ Time Baker (2001)	25
ຮູບທີ 2.12 ແສດງກາພທີ່ເຫັນຂອງ LED ເມື່ອແກວງວົງຈານໄປນາ ຮູບ (a) ເມື່ອແພງ LED ຕ່ອເຂົ້າກັນ ແຫຼ່ງຈ່າຍໄຟຟ້າກະແສຕຽງ ແລະ (b) ເມື່ອແພງ LED ຕ່ອເຂົ້າກັນແຫຼ່ງຈ່າຍໄຟຟ້າກະແສສລັບ	26

สารบัญภาพ (ต่อ)

รูปที่ 2.13 แสดงชุดสาขิต่างๆ RLC ของ Yaakov Kraftmakher	27
รูปที่ 2.14 แสดงการต่อชุดอุปกรณ์ RLC เข้ากับเครื่อง Oscilloscope	27
รูปที่ 3.1 แสดงลายพิมพ์วงจร สำหรับการทดลอง	30
รูปที่ 3.2 แสดงเครื่องกำเนิดสัญญาณไฟฟ้ากระแสสลับ	31
รูปที่ 3.3 แสดงมัลติมิเตอร์แบบดิจิตอลวัดค่า RLC	31
รูปที่ 3.4 แสดงขดลวดเหนี่ยวนำ ปรับค่าความเหนี่ยวนำด้วยแท่งแกรไฟต์	32
รูปที่ 3.5 ตัวเก็บประจุไฟฟ้าซึ่งติดตั้งในกล่องพลาสติกพร้อมช่องเสียบสายไฟ	32
รูปที่ 3.6 แสดงวงจรการต่อความต้านทานในวงจรไฟฟ้ากระแสสลับ	33
รูปที่ 3.7 แสดงวงจรการต่อขดลวดเหนี่ยวนำในวงจรไฟฟ้ากระแสสลับ	33
รูปที่ 3.8 แสดงวงจรการต่อตัวเก็บประจุในวงจรไฟฟ้ากระแสสลับ	34
รูปที่ 3.9 แสดงการตรวจวัดค่าความต่างเฟส (ของ I – V) ในตัวต้านทานในวงจรไฟฟ้ากระแสสลับ	34
รูปที่ 3.10 แสดงการตรวจวัดค่าความต่างเฟส(ของ I – V) ในตัวขดลวดเหนี่ยวนำในวงจรไฟฟ้ากระแสสลับ	35
รูปที่ 3.11 แสดงการตรวจวัดค่าความต่างเฟส(ของ I – V) ในตัวเก็บประจุในวงจรไฟฟ้ากระแสสลับ	35
รูปที่ 3.12 แสดงการต่อวงจร RLC แบบอนุกรมเพื่อตรวจวัดค่ากระแสไฟฟ้าและความต่างศักย์	36
รูปที่ 3.13 แสดงการตรวจวัดค่าความต่างเฟส (I – V) ของ RLC แบบอนุกรมในวงจรไฟฟ้ากระแสสลับ	37
รูปที่ 3.14 แสดงการต่อวงจร RLC แบบขนานเพื่อตรวจวัดค่ากระแสไฟฟ้าและความต่างศักย์	37
รูปที่ 3.15 แสดงการตรวจวัดค่าความต่างเฟส (I – V) ของ RLC แบบขนานในวงจรไฟฟ้ากระแสสลับ	38

สารบัญภาพ (ต่อ)

รูปที่ 4.1 แสดงการต่อตัว้านทานกับแพงวงจรเพื่อวัดค่ากระแสไฟฟ้าและความต่างศักย์	39
รูปที่ 4.2 แสดงการต่อขดลวดเหนี่ยวนำกับแพงวงจรเพื่อวัดค่ากระแสไฟฟ้าและความต่างศักย์	40
รูปที่ 4.3 แสดงการต่อตัวเก็บประจุไฟฟ้ากับแพงวงจรเพื่อวัดค่ากระแสไฟฟ้าและความต่างศักย์	41
รูปที่ 4.4 ความต่างเฟสระหว่างความต่างศักย์ต่อกรุ่นตัว้านทานกับกระแสไฟฟ้า ในวงจรไฟฟ้า	43
รูปที่ 4.5 ความต่างเฟสระหว่างความต่างศักย์ต่อกรุ่นตัวเหนี่ยวนำกับกระแสไฟฟ้า ในวงจรไฟฟ้า	43
รูปที่ 4.6 ความต่างเฟสระหว่างความต่างศักย์ต่อกรุ่นตัวเก็บประจุไฟฟ้ากับกระแสไฟฟ้า ในวงจรไฟฟ้า	44
รูปที่ 4.7 แสดงแผนภาพความต่างเฟสระหว่างกระแสไฟฟ้ารวม กับ ความต่างศักย์ของ วงจร RLC อนุกรม	46
รูปที่ 4.8 แสดงแผนภาพความต่างเฟสระหว่างกระแสไฟฟ้ารวม กับ ความต่างศักย์ สำหรับวงจรขนาน	48

บทที่ 1

บทนำ

1.1 ความสำคัญของปัญหา

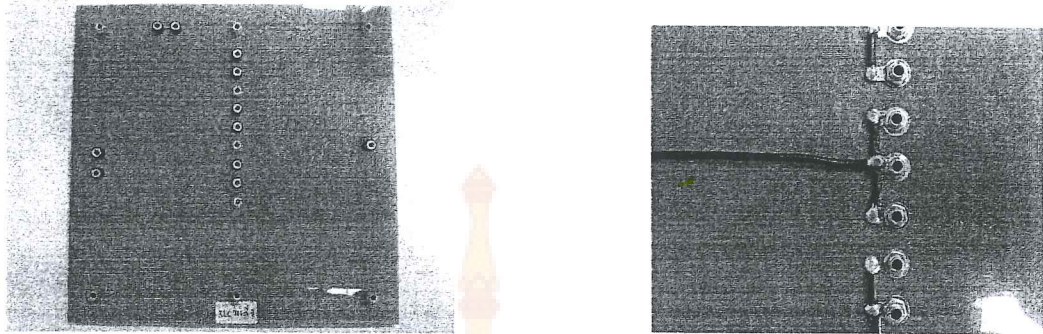
เนื้อหาเรื่องไฟฟ้ากระแสสลับนี้ ปรากฏในบทเรียนทั้งในระดับมัธยมศึกษาตอนปลาย และ ในระดับมหาวิทยาลัย (เหตุณที่ 2 ของปีการศึกษา) สำหรับนักศึกษาที่ต้องเรียนวิชาพิสิกส์เป็นพื้นฐาน เนื้อหาไฟฟ้ากระแสสลับจะประกอบด้วย การคำนวณไฟฟ้ากระแสสลับ นิยามคำศัพท์เฉพาะไฟฟ้ากระแสสลับ ได้แก่ V_{rms} I_{rms} ซึ่งเป็นค่าที่ใช้ในไฟฟ้ากระแสสลับเท่านั้น การต่อแหล่งจ่ายไฟฟ้ากระแสสลับกับอุปกรณ์ไฟฟ้า (ตัวต้านทาน ตัวเหนี่ยวนำ ตัวเก็บประจุไฟฟ้า) การคำนวณค่ากระแสไฟฟ้าที่ไหลผ่านวงจรไฟฟ้ากระแสสลับแบบอนุกรม แบบขนาน แบบผสม และ ความต่างศักย์ที่คร่อมอุปกรณ์ต่าง ๆ ในวงจรไฟฟ้ากระแสสลับแบบอนุกรม แบบขนาน แบบผสม

1.2 ปัญหาที่ทำการวิจัย ประกอบด้วย

1.2.1 ในด้านเนื้อหานั้นนักศึกษามีความไม่เข้าใจในการคำนวณค่าต่าง ๆ ในวงจรแบบต่าง ๆ และ ค่า V_{rms} I_{rms} โดยไม่สามารถแยกความแตกต่างของค่าดังกล่าวกับค่าที่มากที่สุดของความต่างศักย์ และ กระแสไฟฟ้าที่มากที่สุด ได้รวมทั้ง การหาความต้านทานเชิงซ้อน (Impedance) การหาค่ามุมเฟสของวงจร RLC อนุกรม ขนาน และ ผสม ได้อย่างถูกต้อง

1.2.2 การทดลองในส่วนของไฟฟ้ากระแสสลับในระดับมหาวิทยาลัยยังมีน้อย หรือ มีแต่ไม่ครอบคลุมเนื้อหาของไฟฟ้ากระแสสลับ เช่น หาความถี่สำหรับวงจรเรโซแนนซ์แบบอนุกรมหรือ ขนาดสำหรับไฟฟ้ากระแสสลับเท่านั้น และ ในบางสถาบันการศึกษาขาดทดลองไม่เพียงพอ กับ นักศึกษา ทำให้นักศึกษาขาดทักษะในการวัดผล วิเคราะห์ผล และ สรุปผลการทดลอง

1.2.3 ชุดทดลองที่ใช้ในการทดลองเรื่อง ไฟฟ้ากระแสสลับ ในที่ทำงานปัจจุบันมีลักษณะ ดัง แสดงในรูปข้างล่างนี้



รูปที่ 1.1 แสดงแพงทดลอง ไฟฟ้ากระแสสลับ (ซ้าย) และ แสดงชุดเชื่อมต่อของสายไฟใต้เพงวงจร (ขวา)

จากลักษณะของแพงการทดลอง จะมีขนาดที่ใหญ่ใช้พื้นที่ในการเก็บ และ การเชื่อมสายไฟ ระหว่างชุดสำหรับใส่อุปกรณ์จะเกิดการหลุดของสายไฟได้ง่าย เมื่อเสียบอุปกรณ์ลงไปจะไม่ สามารถวัดค่าความต่างศักย์หรือกระแสไฟฟ้าที่แหล่งผ่านวงจรได้

ดังนั้นผู้วิจัยมีความคิดเห็นว่า นักศึกษาที่เรียนพิสิกส์เป็นพื้นฐานในการต่อยอดของการเรียนใน สาขาต่าง ๆ ควรจะได้ทำการทดลองที่สอดคล้องกับเนื้อหาทั้งหมดของไฟฟ้ากระแสสลับ มีทักษะ ในการวิเคราะห์ผลจากการทดลองกับค่าที่คำนวณได้จากทฤษฎี การใช้เครื่องมือวัด (มัลติมิเตอร์) โดยในส่วนของการใช้เครื่องมือนักศึกษาจะได้ทดลองวัดค่าความต่างศักย์คร่อมอุปกรณ์แต่ละชนิด ในวงจรแบบอนุกรม และ ขนาด กระแสไฟฟ้าที่แหล่งผ่านอุปกรณ์ต่าง ๆ รวมทั้งการวัดค่าเฉลี่ยตัว ของตัวต้านทาน ตัวเก็บประจุไฟฟ้า ตัวเหนี่ยวนำ ผ่านอุปกรณ์เฉพาะ เพื่อให้นักศึกษามีความชำนาญ เป็นนักปฏิบัติที่เชี่ยวชาญ ขณะเดียวกันเป็นการสร้างทัศนคติที่ดีในการเรียนวิชาพิสิกส์ เพราะ นักศึกษาเห็นภาพรวมและประโยชน์ของการเรียน

1.3 วัตถุประสงค์ของโครงการวิจัย

- 1.3.1 เพื่อสร้างชุดทดลอง เรื่อง ไฟฟ้ากระแสสลับ แบบปฏิสัมพันธ์กับผู้เรียน
- 1.3.2 เพื่อศึกษาสมบัติของวงไฟฟ้ากระแสสลับสำหรับอนุกรม ขนาด
- 1.3.3 เพื่อให้นักศึกษาได้มีความร่วมมือ และ แก้ไขปัญหาผ่านกิจกรรมที่ทำร่วมกันในบทเรียน
- 1.3.4 เพื่อเพิ่มผลสัมฤทธิ์ของนักศึกษาในการเรียน เรื่อง ไฟฟ้ากระแสสลับ

1.4 ขอบเขตของโครงการวิจัย งานวิจัยมีขอบเขตของโครงการดังนี้

- 1.4.1 รวบรวมข้อมูลที่เกี่ยวข้องกับเนื้อหาที่สอดคล้องกับบทเรียนเชิงปฏิบัติการของไฟฟ้ากระแสสลับ ในวารสารต่างประเทศ หรือ ภาษาในประเทศไทย พร้อมทั้งพิจารณาข้อดีและข้อเสียของแต่ละงานที่ได้ระบุไว้ในวารสาร
- 1.4.2 จัดเตรียมวัสดุ อุปกรณ์สำหรับสร้างบทเรียน และ คู่มือการใช้งานให้เหมาะสม โดยผ่านความเห็นชอบของผู้เชี่ยวชาญ
- 1.4.3 นำบทเรียนใช้ในการเรียนการสอน เพื่อทราบข้อดีและข้อเสีย เพื่อทำการปรับปรุงเนื้อหาให้มีความเหมาะสมมากยิ่งขึ้น

1.5 ประโยชน์ที่คาดว่าจะได้รับ

- 1.5.1 ได้ผลงานวิจัยซึ่งสามารถเผยแพร่ในวารสารวิชาการ ได้ เช่น วารสาร Physics Teacher หรือ Physics Education
- 1.5.2 ได้เผยแพร่ชุดทดลอง เรื่อง ไฟฟ้ากระแสสลับ แบบปฏิสัมพันธ์กับผู้เรียน ให้กับโรงเรียนที่มีโครงการห้องเรียนพิเศษทางด้านวิทยาศาสตร์ หรือ โรงเรียนที่ขาดแคลนโอกาสได้ทดลองจริง ๆ กับชุดทดลอง

บทที่ 2

ทบทวนวรรณกรรมและงานวิจัยที่เกี่ยวข้อง

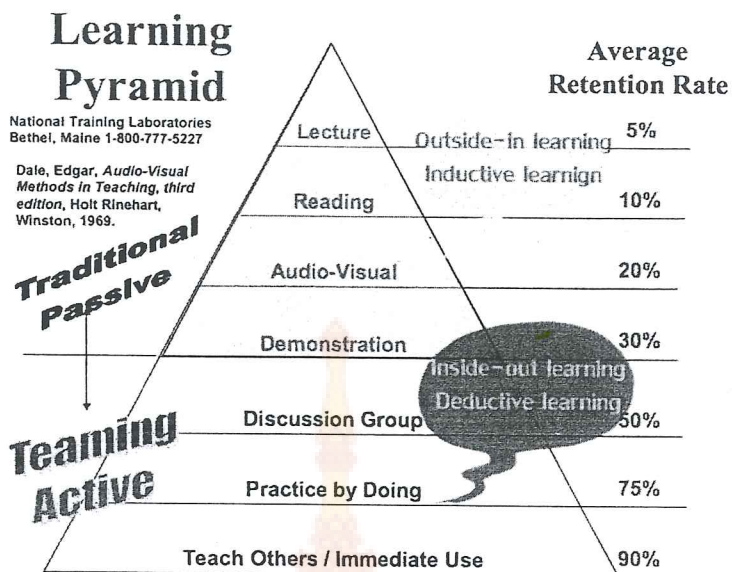
2.1 การสอนแบบมือปฏิบัติ (Hands – on Activities)

การเรียนของนักเรียน นักศึกษาหรือบุคคลทั่วไป ทั้งลูกจ้าง นายช่าง หรือเจ้าของกิจการ ได ๆ เมื่อต้องการเรียนรู้เรื่องราวใด ๆ จะต้องประกอบด้วยขั้นตอนต่าง ๆ ดังนี้

- (1) การจำ (Remember)
- (2) การเข้าใจ (Comprehension) และ การประยุกต์
- (3) การวิเคราะห์ (Analysis)
- (4) การสังเคราะห์ (Synthesis)
- (5) การประเมินคุณค่าและการตัดสินใจ (Evaluation and decision value)

การเรียนในห้องเรียนปัจจุบันเน้นไปที่ข้อที่ (1) มากที่สุด คือ การจำ เมื่อจำได้สามารถสอนได้ หรือ เรียนเพียงเพื่อนำไปสอน หรือ ทางด้านหน่วยงานที่เกี่ยวข้องกับการศึกษาเห็นว่านักเรียนสามารถมาถึงข้อ (3) คือ การวิเคราะห์ได้ เช่น สามารถทำโจทย์ที่ซับซ้อนขึ้น แก้ปัญหาที่ยากขึ้นจากเนื้อหาที่เรียนในบทเรียน ซึ่งในปัจจุบันไม่เพียงพอกับการขับเคลื่อนประเทศไทยได้ เนื่องจากนักเรียน นักศึกษาไม่สามารถคิดสิ่งใหม่ ๆ จากองค์ความรู้ที่ได้รับ คือ การสังเคราะห์ และขณะเดียวกันเมื่อมีข้อมูลรอบข้างเข้ามาเพื่อใช้ในการตัดสินใจว่าควรจะนำมายังรีโน ไม่สามารถตัดสินใจลงไปได้ ดังนั้นควรจะมีการเพิ่มกระบวนการสังเคราะห์ และการประเมินคุณค่ารวมทั้งการตัดสินใจได้

เมื่อพิจารณาการเรียนการสอนในปัจจุบันจะเน้นไปทางด้านครู อาจารย์ ในสถานศึกษาเป็นผู้ให้ความรู้จากการบอก แก้โจทย์ปัญหาให้ดู และ นักเรียน นักศึกษาเป็นเพียงผู้ดำเนินการที่อาจารย์แนะนำสอน และ ทำงานที่มอบหมายเท่านั้น ทำให้นักเรียน นักศึกษา ไม่ทราบถึงวัตถุประสงค์ของการเรียนรู้ ขาดการเชื่อมโยงระหว่างสิ่งที่เรียนในห้องกับชีวิตประจำวันภายนอก จึงทำให้การเรียนไม่สัมฤทธิ์ผลเท่าที่ควร ซึ่งการถ่ายทอดความรู้สามารถทราบได้จากพิรามิดการเรียน ดังแสดงในรูปข้างล่างนี้

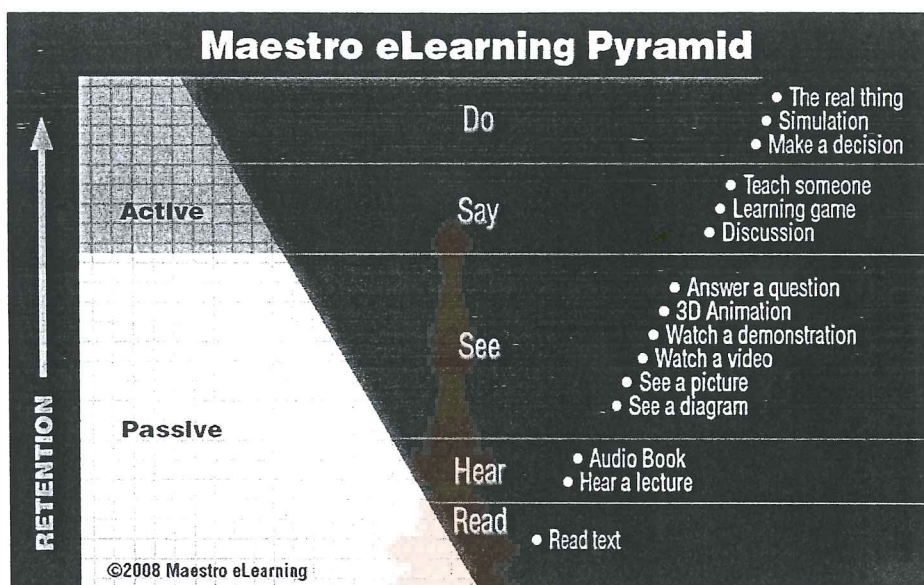


รูปที่ 2.1 แสดงพิรามิดของการเรียน (Learning Pyramid)

ที่มา: ratnaree.wordpress.com

จากพิรามิดการเรียนจะแบ่งการสอนออกเป็น 2 กลุ่ม คือ กลุ่มแรก Traditional Passive เป็นการสอนที่แบบเดิม ๆ ที่ใช้ในการเรียนการสอน โดยครูเป็นผู้ถ่ายทอดเพียงฝ่ายเดียว ได้แก่ การบรรยาย การอ่านให้ฟัง การให้นักเรียนชมวิดีทัศน์ และ การสาธิตหน้าชั้นเรียน (Demonstration) และ กลุ่มที่ 2 คือ Teamwork Active เป็นการสอนที่ผู้สอนในแบบเดิมจะทำหน้าเพียงผู้ชี้แนะแนวทาง (Coaching) และ นักเรียน นักศึกษาทำงานการเป็นทีม หรือ กลุ่มย่อย ประกอบด้วย การแลกเปลี่ยนภาษาในกลุ่ม (Discussion group) การลงมือปฏิบัติจริง (Practice by doing) การสอนผู้อื่น (Teaching) เช่น การติวหนังสือให้เพื่อน จะพบว่าผลสัมฤทธิ์ของการเรียนในลักษณะของกลุ่มที่ 2 จะได้ผลที่มากกว่าเนื่องจากเป็นการเรียนที่ต้องทำความเข้าใจด้วยตนเอง แล้วลงมือปฏิบัติกับเครื่องมือ เป็นการเข้าใจจากข้างในตัวนักเรียน นักศึกษาเองก่อน แล้วจึงแลกเปลี่ยนกันภาษาในกลุ่ม

ในทำนองเดียวกัน เมื่อพิจารณาพิรามิดการเรียนรู้อีกลักษณะหนึ่ง ดังแสดงข้างล่างนี้



รูปที่ 2.2 แสดงพิรามิดของการเรียน (Learning Pyramid) แบบภาพรวม

ที่มา: krofonnaja.wordpress.com

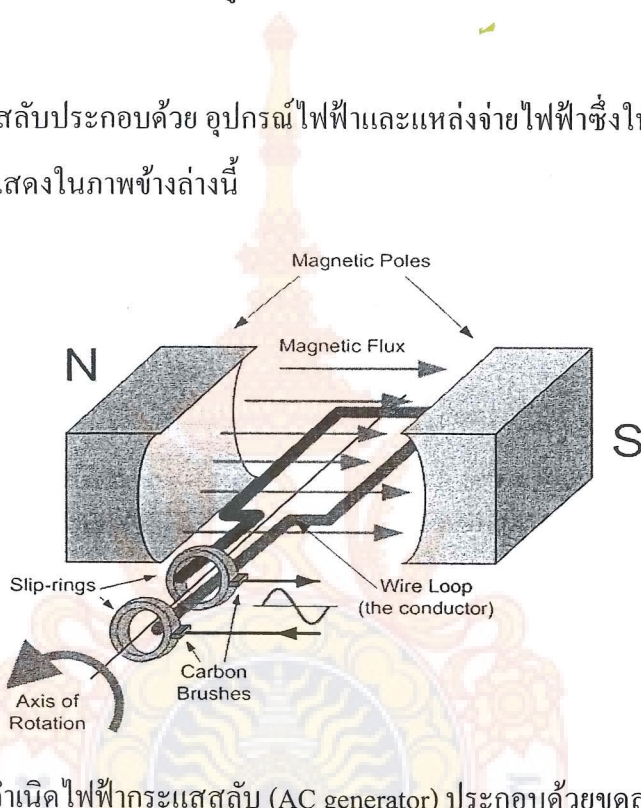
จากพิรามิดพบว่า การ ได้ลงมือทำ (DO) ได้แก่ การเรียนรู้จากของจริง (The real thing) การจำลองสถานการณ์ (Simulation) และ การอภิปรายกลุ่ม (Make a decision) จะทำให้นักเรียน นักศึกษา เข้าใจมากยิ่งขึ้น โดยเฉพาะการเรียนรู้จากของจริงให้ผลมากที่สุด

ดังนั้นผู้วิจัยจึงมีความเห็นว่า การที่นักเรียน นักศึกษาได้ลงมือปฏิบัติกับชุดทดลอง การวัดจากอุปกรณ์เฉพาะทาง จะทำให้นักเรียนเห็นภาพ แก้ปัญหาได้ ทำความเข้าใจด้วยตนเอง และ สามารถสรุปผลกันภายในกลุ่ม จะเป็นแนวทางที่ช่วยให้เกิดสัมฤทธิ์ผลมากยิ่งขึ้น กิจกรรมที่สร้างสำหรับเรื่องไฟฟ้ากระแสสลับ ในชื่อของงานวิจัย จะเน้นไปที่ Hands - on เนื่องจาก คำว่า Hands - on แปลว่า ลงมือปฏิบัติจริง (Learning by doing) และ การเรียนแบบ Hands – on จะทำให้เกิดความเข้าใจกับสิ่งต่าง ๆ ขณะที่ลงมือทำและทำให้เกิดประสบการณ์ ในด้านอาชีวศึกษา (Vocational Education) จะมีความเข้าใจในเรื่อง Hands – on เป็นพิเศษ เช่น ถ้าต้องการให้นักเรียนรู้เรื่องการซ่อมรถบันต์ นักเรียนจะต้องอยู่ในอู่หรือสถานที่ที่มีรถให้ซ่อม (มีรถบันต์มาใช้บริการ) หรือ ถ้าต้องการให้นักเรียนทำอาหารเป็น จะต้องให้นักเรียนอยู่ในครัว

ดังนั้นกลุ่มวิจัยมีความเห็นว่า ควรจะมีกิจกรรมที่เป็นลักษณะ Hands-on ในสถานศึกษา เนื่องจากหลังจากที่นักเรียนได้เรียนเนื้อหาแล้ว อาจจะเกิดข้อสงสัยว่าสิ่งที่ได้เรียนห้องเรียนແດ່ວນີ້ ลงปฏิบัติจริงจะได้ผลเหมือนกันหรือไม่ โดยนักเรียนเป็นผู้ทำกิจกรรมทั้งหมด ครู อาจารย์ที่ควบคุม เป็นเพียงผู้แนะนำเมื่อนักเรียนมีปัญหา หรือ อาจจะเป็นผู้ตรวจสอบการต่อวงจร การใช้ชุดเครื่องมือ วัด ซึ่งเป็นการสร้างบรรยากาศในการเรียนรู้

2.2 ไฟฟ้ากระแสสลับ

วงจรไฟฟ้ากระแสสลับประกอบด้วย อุปกรณ์ไฟฟ้าและแหล่งจ่ายไฟฟ้าซึ่งให้ความต่างศักย์ของไฟฟ้ากระแสสลับดังแสดงในภาพข้างล่างนี้



รูปที่ 2.3 แสดงแหล่งกำเนิดไฟฟ้ากระแสสลับ (AC generator) ประกอบด้วยชุด漉ดหมุนผ่านบริเวณที่มีสนามแม่เหล็ก (ที่มา: www.electronics-tutorials.ws)

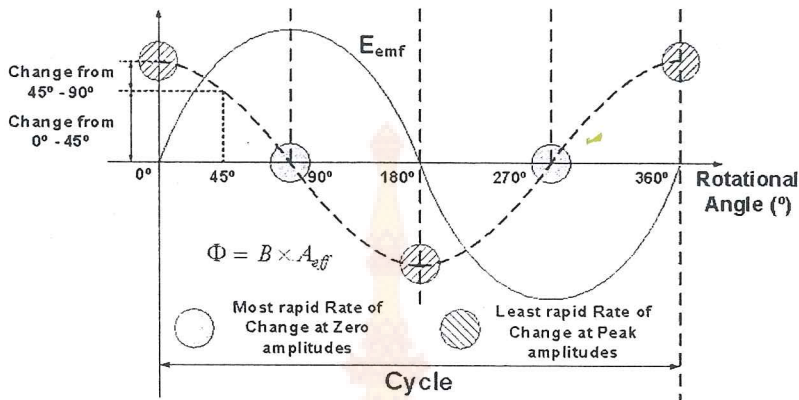
โดยค่าความต่างศักย์เปลี่ยนแปลงตามค่าเวลา และ สมการคือ

$$\Delta V = \Delta V_{\max} \sin \omega t \quad (2.1)$$

เมื่อ ค่า ΔV_{\max} คือ ความต่างศักย์ที่มากที่สุดที่แหล่งกำเนิดไฟฟ้ากระแสสลับให้กับวงจร หรือ Voltage Amplitude และ กำเนิดไฟฟ้ากระแสสลับประกอบด้วยตัวสร้างสัญญาณไฟฟ้า (Generator) และ ค่า ω คือ ความถี่ซึ่งมุ่งของความต่างศักย์ไฟฟ้ากระแสสลับ มีค่าเท่ากับ

$$\omega = 2\pi f = \frac{2\pi}{T} \quad (2.2)$$

โดยที่ f คือ ความถี่ของแหล่งกำเนิด และ T คือ คาบ ค่าความถี่ของแหล่งกำเนิดไฟฟ้ากระแสสลับ ในประเทศไทยคือ 50 Hz และ ค่าต่าง ๆ ในสมการที่ (1) และ (2) สามารถแสดงเป็นกราฟได้ดังนี้

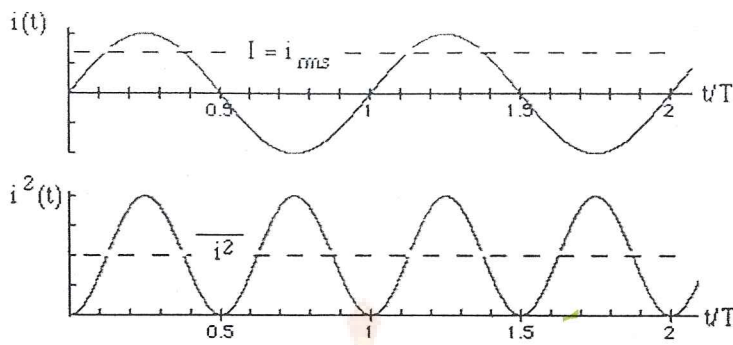


รูปที่ 2.4 ความต่างศักย์ของแหล่งกำเนิดไฟฟ้ากระแสสลับ (AC source) มีลักษณะเป็นรูป sine และ T คือ เวลาที่ครบ 1 รอบของสัญญาณ (ที่มา: macao.communications.museum)

2.2.1 ค่ารากผลของกระแสและความต่างศักย์ (Root Mean Square, RMS)

เนื่องจากกระแสไฟฟ้า และ ความต่างศักย์ของไฟฟ้ากระแสสลับมีค่าไม่คงที่ ดังนั้นการคำนวณหรือการวัดค่าที่เวลาต่าง ๆ จึงไม่คงที่ จึงต้องกำหนดค่าเฉลี่ยของกระแสและความต่างศักย์

ค่าเฉลี่ยของกระแสไฟฟ้าและความต่างศักย์จะคิดเปรียบเทียบกำลังไฟฟ้ากระแสสลับกับกระแสตรง โดยใช้ลักษณะร้อน 2 ชุด ที่มีความต้านทาน (R) เท่ากัน ชุดหนึ่งต่อเข้ากับแหล่งจ่ายไฟฟ้ากระแสตรง (เช่น ถ่านไฟฉาย) และ อีกชุดหนึ่งต่อเข้ากับแหล่งจ่ายไฟฟ้ากระแสสลับ ทำให้เกิดความร้อนกับคลื่นในอัตราเท่ากัน วัดค่าของกระแสไฟฟ้าผ่านคลื่น และ วัดค่าความต่างศักย์ระหว่างปลายคลื่นในวงจรกระแสตรงได้ I และ V ตามลำดับ ค่าที่วัดได้นี้จะมาใช้เป็นค่าของกระแสไฟฟ้าและความต่างศักย์ในวงจรกระแสสลับ โดยค่ากระแสไฟฟ้าและความต่างศักย์ที่ใช้สำหรับวงจรกระแสสลับนี้ เรียกว่า ค่ารากผล (ในทางปฏิบัติจะใช้มิเตอร์ที่ใช้วัดค่าความต่างศักย์และกระแสไฟฟ้า слับ ค่าที่อ่านได้จากมิเตอร์เป็นค่ารากผล จึงเรียกได้อีกอย่างหนึ่งว่า ค่ามิเตอร์) พิจารณาได้จากการข้างล่างนี้



รูปที่ 2.5 กราฟของกระแสไฟฟ้าที่ผ่านตัวต้านทานยกกำลังสองเป็นฟังก์ชันกับเวลา โดยที่ $i^2 = \frac{I_{\max}^2}{2}$

(ที่มา: www.animations.physics.unsw.edu.au)

$$\text{ค่าราก quadrature ของกระแสไฟฟ้า} = I_{rms} = \frac{I_{\max}}{\sqrt{2}}$$

$$\text{และ ค่าความต่างศักย์ของกระแสสัลบคือ} \quad V_{rms} = \frac{V_{\max}}{\sqrt{2}}$$

ดังนั้นการกล่าวถึงกระแสไฟฟ้า หรือ ความต่างศักย์จากแหล่งจ่าย จะหมายถึงค่าราก quadrature ของกระแสไฟฟ้าหรือค่าราก quadrature ของความต่างศักย์ เช่น เมื่อกล่าวถึงความต่างศักย์ในบ้านเท่ากับ 220 โวลต์ ค่าของ 220 โวลต์ คือค่าราก quadrature ของความต่างศักย์แสดงว่า ความต่างศักย์ที่มากที่สุดของไฟบ้านคือ $V_{\max} = 220(\sqrt{2}) = 311$ โวลต์

2.2.2 การต่ออุปกรณ์ไฟฟ้ากับแหล่งจ่ายไฟฟ้ากระแสสัลบ

อุปกรณ์ไฟฟ้าที่กล่าวถึงจะประกอบด้วย ตัวต้านทาน ตัวเหนี่ยวนำ และ ตัวเก็บประจุไฟฟ้า และแต่ละตัวต่อเข้ากับแหล่งจ่ายไฟฟ้ากระแสสัลบ โดยอุปกรณ์แต่ละตัวจะมีค่าประจำตัว คือ ความต้านทาน (R) ความเหนี่ยวนำ (L) และ ค่าความจุไฟฟ้า (C) ตามลำดับ แต่ เพื่อให้ค่าที่ได้มีหน่วยเดียวกัน เพราะ ความต้านทานมีหน่วยเป็น โอห์ม (Ω) แต่ ค่าความเหนี่ยวนำ มีหน่วยเป็น เฮนรี (Henry, H) และ ความจุไฟฟ้ามีหน่วยเป็น ฟารัด (Farad, F) จึงมีการเปลี่ยนรูปดังนี้

$$\left. \begin{array}{l} \text{ค่าความต้านทานเชิงเหนี่ยวนำ} \quad X_L = \omega L = 2\pi fL \\ \text{ค่าความต้านทานเชิงความจุไฟฟ้า} \quad X_C = \frac{1}{\omega C} = \frac{1}{2\pi fC} \end{array} \right\} \text{มีหน่วยเป็น โอห์ม} (\Omega)$$

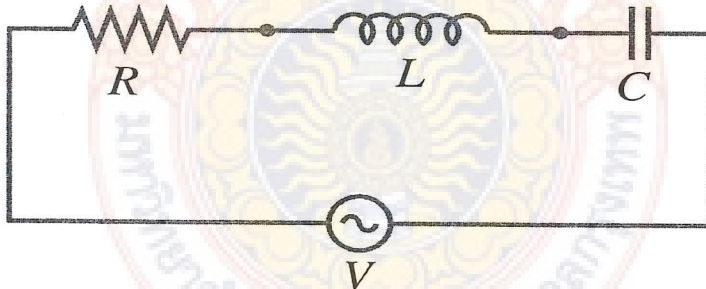
ปริมาณและความสัมพันธ์ของอุปกรณ์ไฟฟ้าแต่ละตัว กับ แหล่งจ่ายไฟฟ้ากระแสสลับ สรุปดังตารางข้างล่างนี้

ตารางที่ 2.1 แสดงความสัมพันธ์ของอุปกรณ์ไฟฟ้าแต่ละชนิดกับ แหล่งจ่ายไฟฟ้ากระแสสลับ

อุปกรณ์ไฟฟ้า	สัญลักษณ์	ความต้านทาน	มุมไฟฟ้าของกระแส	Phase constant (ϕ)	ความสัมพันธ์ของ ความต่างศักย์
ตัวต้านทาน	R	R	เฟสตรงกับ V_R	0°	$V_R = I_R R$
ตัวเก็บประจุ	C	$X_C = \frac{1}{\omega C}$	เฟสนำ $V_C 90^\circ$	-90°	$V_C = I_C R_C$
ตัวเหนี่ยวแน่น	L	$X_L = \omega L$	เฟสตาม $V_L 90^\circ$	$+90^\circ$	$V_L = I_L R_L$

2.3 วงจร RLC อนุกรม และ ขนาน

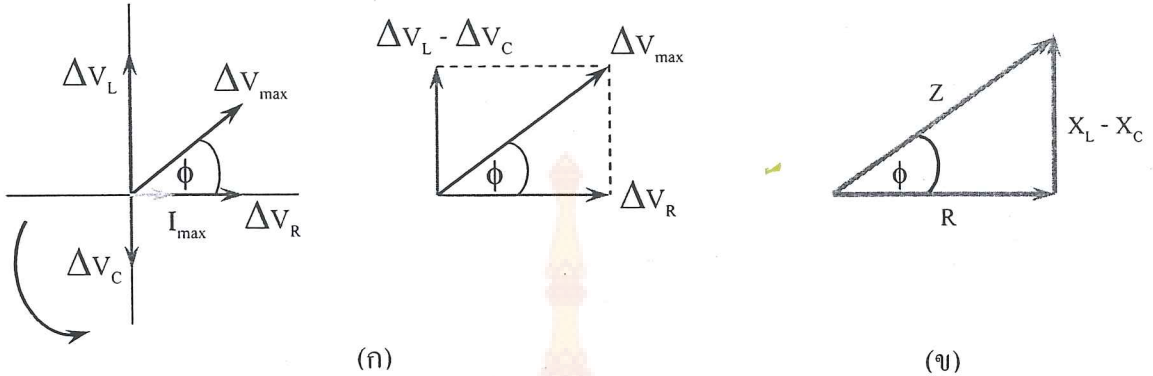
2.3.1 วงจร RLC แบบอนุกรม มีลักษณะดังรูปข้างล่างนี้



รูปที่ 2.6 แสดงการต่อ RLC แบบอนุกรม กับแหล่งจ่ายไฟฟ้ากระแสสลับ

ที่มา: helios.augustana.edu

ความสัมพันธ์ของวงจร RLC แบบอนุกรมจะพิจารณาในรูปของแผนภูมิ Phasor Diagram ของกระแสไฟฟ้าและความต่างศักย์ดังนี้



รูปที่ 2.7 (ก) แสดงแผนภูมิ Phasor diagram ระหว่างความต่างศักย์คร่อมอุปกรณ์แต่ละตัวกับกระแสไฟฟ้าที่ไหลผ่านวงจร และ (ห) แสดงการหาค่ามุมเฟสของวงจร RLC อนุกรม

ค่าความต่างศักย์รวมหรือความต่างศักย์มากที่สุดของวงจร RLC จาก Phasor Diagram คือ

$$\Delta V_{\max} = \sqrt{\Delta V_R^2 + (\Delta V_L - \Delta V_C)^2} \quad (2.3)$$

หรือ

$$\Delta V_{\max} = I_{\max} \sqrt{R^2 + (X_L - X_C)^2}$$

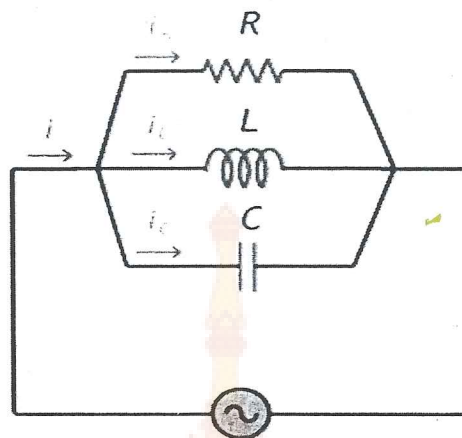
ค่าใน Square root เรียกว่า ความต้านทานเชิงช่อง (Impedance) ใช้สัญลักษณ์ Z และ มีหน่วยเป็น โอห์ม (Ω) ดังนั้น จะได้

$$Z = \sqrt{R^2 + (X_L - X_C)^2} \quad (2.4)$$

มุมเฟส (Phase Constant, ϕ) ของวงจร RLC อนุกรม คือ

$$\phi = \tan^{-1} \left(\frac{X_L - X_C}{R} \right) \quad (2.5)$$

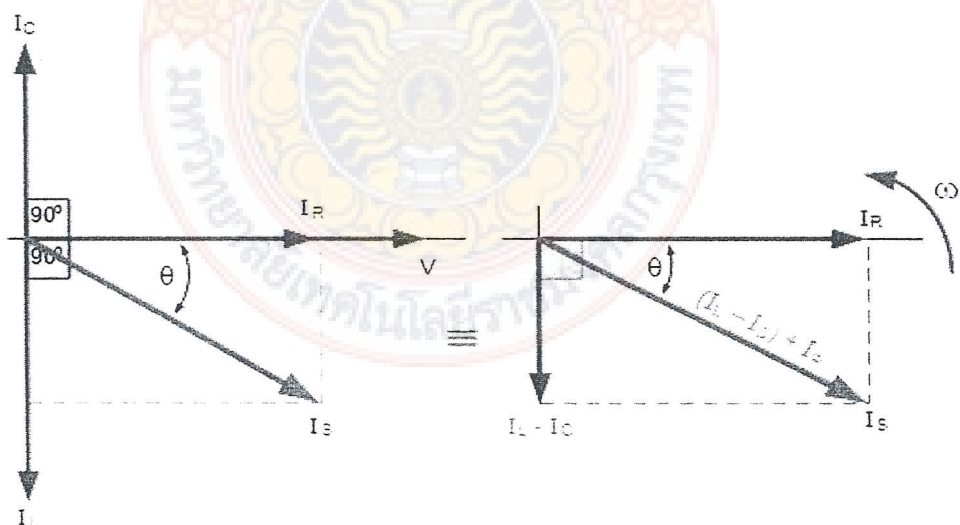
2.3.2 วงจร RLC แบบขนาน มีลักษณะดังรูปข้างล่างนี้



รูปที่ 2.8 แสดงการต่อ RLC แบบขนาน กับแหล่งจ่ายไฟฟ้ากระแสสลับ

ที่มา : <http://www.caraudio-club.com/forum/showthread.php>

ความสัมพันธ์ของวงจร RLC แบบขนานจะพิจารณาในรูปของแผนภาพ Phasor Diagram ของกระแสไฟฟ้าและความต่างศักย์ดังนี้



รูปที่ 2.9 แสดงแผนภาพ Phasor Diagram ระหว่างความต่างศักย์และกระแสไฟฟ้าที่ไหลผ่านอุปกรณ์แต่ละตัวในวงจร RLC แบบขนาน (ที่มา: <http://www.electronics-tutorials.ws/accircuits/parallel-circuit.html>)

ค่ากระแสไฟฟ้ารวมหรือกระแสไฟฟ้าที่มากที่สุดในวงจร RLC แบบขนาน เมื่อพิจารณาจากแผนภาพ Phasor Diagram จะได้

$$I_{\max} = \sqrt{I_R^2 + (I_C - I_L)^2} \quad (2.6)$$

ความต้านทานเชิงช้อน (Impedance, Z) ของวงจร RLC แบบขนานหาได้จาก

$$\frac{1}{Z} = \sqrt{\frac{1}{R^2} + \left(\frac{1}{X_C} - \frac{1}{X_L} \right)^2} \quad (2.7)$$

และ ค่ามุมเฟสของวงจร RLC แบบขนานคือ

$$\phi = \tan^{-1} \left(\frac{I_C - I_L}{I_R} \right) \quad (2.8)$$

2.4 วรรณกรรมที่เกี่ยวข้อง

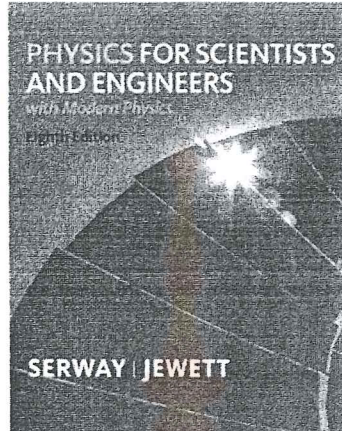
สาขาวิชาฟิสิกส์ คณะวิทยาศาสตร์และเทคโนโลยี มหาวิทยาลัยเทคโนโลยีราชมงคลกรุงเทพ รับผิดชอบสอนวิชาฟิสิกส์สำหรับวิศวกร 1 และ 2 ให้กับนักศึกษาชั้นปีที่ 1 คณะวิศวกรรมศาสตร์ และ วิชาฟิสิกส์เบื้องต้น สำหรับนักศึกษาทางด้านวิทยาศาสตร์ สำหรับส่วนของงานวิจัยจะเน้นไปที่ นักศึกษาชั้นปีที่ 1 คณะวิศวกรรมศาสตร์ และ เมื่อพิจารณาจากเนื้อหาที่ทางสถาบันฯ กำหนดใน ส่วนของกลุ่มวิชาพื้นฐานทางฟิสิกส์ ตามระบบทวิภาค จะประกอบไปด้วย

Mechanics of particles and rigid bodies; properties of matter; fluid mechanics; heat; vibrations and waves; elements of electromagnetism. A. C. circuits; fundamental electronics; optics; modern physics.

พบว่าในเนื้อหาที่ทางสถาบันฯ กำหนดให้นักศึกษาที่ชื่นชอบในส่วนของกระแสไฟฟ้าจะเน้นไปที่ A.C. circuits (วงจรไฟฟ้ากระแสสลับ) ซึ่งจะสอดคล้องกับงานวิจัยที่ผู้วิจัยสนใจและจะช่วย นักศึกษาเข้าใจเนื้อหามากขึ้น

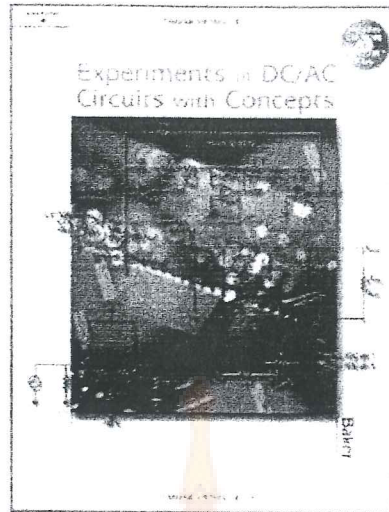
จากที่กล่าวมาในหัวข้อ 2.3 ทฤษฎีที่เกี่ยวข้องกับงานวิจัย พบว่าเนื้อหาในหนังสือเรียนที่เป็น มาตรฐานใช้สำหรับการเรียนการสอนในมหาวิทยาลัยจะกล่าวถึงสมการสำหรับความต่างศักย์ที่ คร่อมและกระแสไฟฟ้าที่ไหลผ่านสำหรับอุปกรณ์แต่ละตัวที่ต่อ กับแหล่งจ่ายไฟฟ้ากระแสสลับ แต่ เมื่อนำอุปกรณ์ต่าง ๆ คือ ตัวต้านทาน ตัวเก็บประจุไฟฟ้า และ ตัวเหนี่ยวนำ มาต่อ กันจะเพียงการนำ RLC มาต่อ กันแบบอนุกรมและต่อ เข้า กับแหล่งจ่ายไฟฟ้ากระแสสลับเท่านั้น โดยหนังสือเรียนที่ใช้

เป็นมาตรฐานได้แก่ Physics for scientists and engineers with modern physics ผู้แต่งคือ Raymond A.Serway และ John W.Jewett, Jr. สำนักพิมพ์ Brook and Cole (2010) (ดังภาพข้างล่าง)



รูปที่ 2.10 แสดงหน้าปกของหนังสือ Physics for scientists and engineers with modern physics แต่งโดย Raymond A.Serway และ John W.Jewett, Jr.

เนื้อหาจะประกอบด้วย แหล่งกำเนิดไฟฟ้ากระแสสลับ การต่ออุปกรณ์ไฟฟ้า (R , L และ C) เข้ากับแหล่งจ่ายไฟฟ้ากระแสสลับ วงจร RLC แบบอนุกรม กำลังของวงจรกระแสสลับ เเรโซแนนซ์ในวงจร RLC แบบขนาน หม้อแปลงไฟฟ้าและกำลังของหม้อแปลง วงจรขยายและกรองกระแส (Rectifiers and filters) เนื้อหาโดยภาพรวมครอบคลุมและมีโจทย์ให้นักศึกษาได้ทำแบบฝึกหัด แต่ไม่ครอบคลุมในส่วนของวงจร RLC แบบขนาน สำหรับในส่วนของหนังสือปฏิบัติการที่เกี่ยวข้องกับวงจรไฟฟ้ามีหนังสือที่เกี่ยวข้องและใช้กันแพร่หลายคือ Experiments In DC/AC Circuits With Concepts (ดังรูปหน้าปกข้างล่างนี้) แต่งโดย Tim Baker จากสำนักพิมพ์ Delmar ปี 2001



รูปที่ 2.11 แสดงหน้าปกของหนังสือ Experiments In DC/AC Circuits With Concepts แต่งโดย Time Baker (2001)

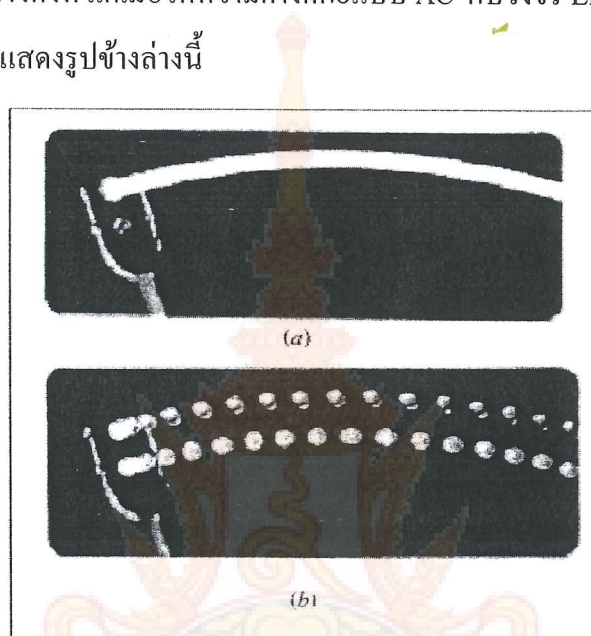
ภายในหนังสือเล่มนี้จะประกอบด้วยการทดลองทั้งหมด 35 การทดลองที่เกี่ยวข้องกับวงจรไฟฟ้ากระแสตรงและกระแสสลับ พิจารณาเฉพาะในส่วนของกระแสสลับจะมี 8 การทดลอง ซึ่งครอบคลุมเนื้อหาในส่วนของทฤษฎี (ในส่วนของอุปกรณ์ต่อgetherกับแหล่งจ่ายไฟฟ้ากระแสสลับ) และวงจร RLC แบบอนุกรม

เมื่อพิจารณาจากหนังสือเรียนและหนังสือสำหรับปฏิบัติการที่ใช้แพร่หลาย พนว่าขาดในส่วนของวงจร RLC แบบขนาน ซึ่งกลุ่มวิจัยได้มีความเห็นว่าควรจะมีเนื้อหาในส่วนนี้เพิ่มลงไปในเนื้อหาและควรจะมีปฏิบัติการตรงส่วนนี้ด้วย เพื่อให้นักศึกษาเห็นภาพรวมที่เป็นพื้นฐานของวงจรไฟฟ้ากระแสสลับครบ

ในส่วนของงานวิจัยที่พิมพ์ในวารสารนานาชาติและเกี่ยวข้องกับวงจรไฟฟ้ากระแสสลับมีดังนี้

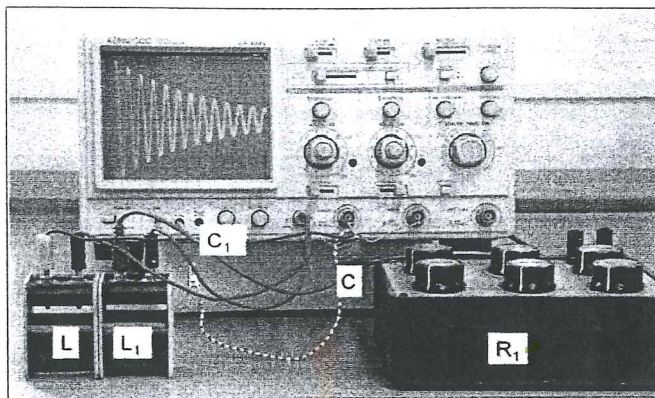
- Revisiting the LCR circuit เขียนโดย V. Ramachandran จาก Department of Physics, University of Botswana, Gaborone, Botswana ตีพิมพ์ในวารสาร Physics Education Vol.26, No.318 1991 ในเนื้อหาจะเป็นการสร้างอุปกรณ์อิเล็กทรอนิกส์คือ วงจร LCR circuits เพื่อใช้อธิบายและสาธิตการเคลื่อนที่แบบ Damped simple harmonic motion and Oscillations ในวงจรไฟฟ้าเท่านั้น

- Simple equipment for imaging AC เจี๊ยบโดย Masahiro Kamata and Takayuki Anayama จาก Department of Science Education, Faculty of Education, Tokyo Gakugei University, Japan ตีพิมพ์ในวารสาร Physics Education ในเดือน กรกฎาคม 2003 ในเนื้อหาจะใช้ไฟฟ้ากระแสสลับ LED แสดงความแตกต่างของวงจรไฟฟ้ากระแสตรงและกระแสสลับ โดยเมื่อให้ความต่างศักย์แบบ DC กับวงจร LED ตัว LED จะสว่างคงที่ แต่เมื่อให้ความต่างศักย์แบบ AC กับวงจร LED ตัว LED จะมีส่วนที่สว่างและไม่สว่าง ดังแสดงรูปข้างล่างนี้



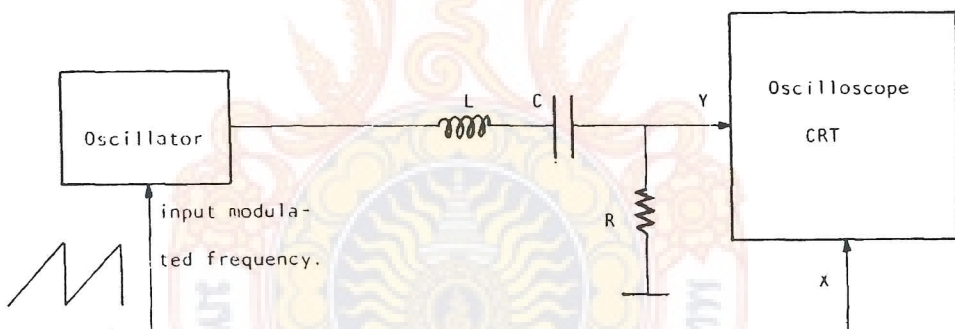
รูปที่ 2.12 แสดงภาพที่เห็นของ LED เมื่อแกะวงจรไปมา รูป (a) เมื่อแสง LED ต่อเข้ากับแหล่งจ่ายไฟฟ้ากระแสตรง และ (b) เมื่อแสง LED ต่อเข้ากับแหล่งจ่ายไฟฟ้ากระแสสลับ

- Demonstrations with an LCR circuit แต่งโดย Yaakov Kraftmakher จาก Bar – Ilan University, Ramat – Gan 52900, Israel ตีพิมพ์ในวารสาร Physics Teacher Vol.49 March 2011 ในเนื้อหาจะประกอบด้วยการสาธิต 3 การสาธิต (1) แสดงการเปลี่ยนแปลงความถี่และการสั่นแบบอิสระของสัญญาณแรงดันกระแสสลับโดยการเปลี่ยนค่า C และ R (2) ใช้แท่ง Ferrite หรือ แท่งอะลูมิเนียม ใส่เข้าไปในตัวเหนี่ยวนำ เพื่อแสดง Free Oscillations decreases และ (3) แสดง Positive and Negative feedback ของวงจรไฟฟ้ากระแสสลับ (ชุดเครื่องมือเป็นเพียงชุดสาธิตหน้าชั้นเรียน) ดังแสดงในรูปข้างล่างนี้



รูปที่ 2.13 แสดงชุดสาธิตวงจร RLC ของ Yaakov Kraftmakher

- Electronic device of didactic and electrometric interest for the study of RLC circuits แต่งโดย Angel L. Pérez Rodríguez, Juan José Peña Bernal, and Benito Mahedero Balsera จาก University of Extremadura, Badajoz, Spain ตีพิมพ์ในวารสาร American Journal of Physics February 1979 Volume 47, Issue 2, pp. 178 ในเนื้อหาจะใช้ Oscilloscope ช่วยในการศึกษา electronic resonance โดยใช้วงจร RLC เพิ่มเข้ามาในวงจร ดังแสดงในรูปข้างล่างนี้



รูปที่ 2.14 แสดงการต่อชุดอุปกรณ์ RLC เข้ากับเครื่อง Oscilloscope

- Chronicling a successful secondary implementation of Studio Physics แต่งโดย Patrick B. Kohl and H. Vincent Kuo จาก Department of Physics, Colorado School of Mines, Golden, Colorado 80401 ตีพิมพ์ในวารสาร American Journal of Physics ประจำเดือน September 2012 , Volume 80, Issue 9, pp. 832 ได้กล่าวถึงวิธีการสอนแบบ Studio Physics สำหรับการเรียนวิชาฟิสิกส์ 2 โดยคณะวิจัย ได้ทำการวิจัยสำหรับปี 2007 โดยมีเป้าหมายเพื่อพัฒนาวิธีการสอน Studio Physics ให้มีอิสระกว่าเดิม ในบทความจำกล่าวถึง ข้อสอบก่อนและหลังเรียน โดยใช้ข้อสอบ Conceptual Survey of Electricity and Magnetism (CSEM) ซึ่งเป็นข้อสอบแบบมาตรฐาน การคิด

คะแนน Colorado Learning About Science Survey scores (CLASS) และผลการสอนโดยใช้วิธีแบบ Studio Physics ทำให้ผลการเรียนของนักเรียนเพิ่มขึ้น โดยผลการเรียนดูจากนักเรียนแก้ปัญหา (Problem solving) และ ประสิทธิภาพในการสอน

- **The RLC system: An invaluable test bench for students** แต่งโดย Pierre Cafarelli, Jean-Philippe Champeaux, Martine Sence, and Nicolas Roy จาก Université Paul Sabatier, France ตีพิมพ์ในวารสาร American Journal of Physics ประจำเดือน September 2012 ,Volume 80, Issue 9, pp. 789 ได้สร้างปัจจัยในการตรวจ RLC เพื่อตรวจสอบความเข้าใจของนักเรียนด้านทฤษฎีและปฏิบัติ โดยปฏิบัติการประกอบด้วย การวิเคราะห์ค่า Impedance การวิเคราะห์ค่า สัญญาณในรูปของคลื่น และความถี่ การใช้การวิเคราะห์เชิงตัวเลขซึ่งอาศัย Fourier transform และ การวัดผลการเรียนดูจาก การใช้เครื่องมือ และ นำเสนอ และ การแก้ปัญหาได้อย่างถูกต้อง

งานวิจัยโดยส่วนใหญ่ที่ใช้ข้างต้นมาจากการวารสาร 3 วารสาร คือ American Journal of Physics, Physics Education และ Physics Teacher โดยวารสาร American Journal of Physics จะนำเสนอการศึกษาทางด้านฟิสิกส์สาขาต่าง ๆ รวมทั้งการสร้างเครื่องมือในการเรียนการสอน วารสาร Physics Education จากประเทศอังกฤษ เกี่ยวข้องโดยตรงกับการสอนฟิสิกส์เรื่องต่าง ๆ เพื่อช่วยให้การเรียนการสอนในชั้นเรียนน่าสนใจ การสร้างเครื่องมือช่วยสื่อเรื่องต่าง ๆ ในวิชาฟิสิกส์ให้นักเรียนเข้าใจมากขึ้น และ Physics Teacher ของสมาคมครุพิสิกส์ของประเทศไทยจะเน้นไปที่การสร้างเครื่องมือช่วยในการสอนฟิสิกส์

บทที่ 3

วิธีการวิจัย

3.1 วิธีการดำเนินการวิจัย

3.1.1 ค้นคว้า รวบรวม ศึกษาข้อมูลและงานวิจัยที่เกี่ยวข้อง เป็นการเก็บรวบรวมข้อมูลของการทำชุดทดลอง การทำวิจัยที่เกี่ยวข้อง โดยศึกษาผลดีและผลเสียที่เกิดขึ้น รวมทั้งวิธีการเก็บ วิเคราะห์ เชิงสถิติ และ สรุปผลของการวิจัยที่เกี่ยวข้อง

3.1.2 ออกแบบการทดลอง ประกอบด้วย

ชุดทดลอง หากความสัมพันธ์ระหว่างค่าความต้านทานของตัวต้านทานค่าต่าง ๆ กับ ค่าความถี่ที่คงที่ของแหล่งกำเนิดไฟฟ้ากระแสสลับ และ ความสัมพันธ์ของค่าความถี่ย่านต่าง ๆ กับค่าความต้านทานที่คงที่

ชุดทดลอง หากความสัมพันธ์ระหว่างค่าความหนี่ยวนำ (L) ค่าต่าง ๆ กับ ค่าความถี่ที่คงที่ของแหล่งกำเนิดไฟฟ้ากระแสสลับ และ ความสัมพันธ์ของค่าความถี่ย่านต่าง ๆ กับค่าความหนี่ยวนำที่คงที่

ชุดทดลอง หากความสัมพันธ์ระหว่างค่าความจูไฟฟ้า (C) ค่าต่าง ๆ กับ ค่าความถี่ที่คงที่ของแหล่งกำเนิดไฟฟ้ากระแสสลับ และ ความสัมพันธ์ของค่าความถี่ย่านต่าง ๆ กับค่าความจูไฟฟ้า (C) ที่คงที่

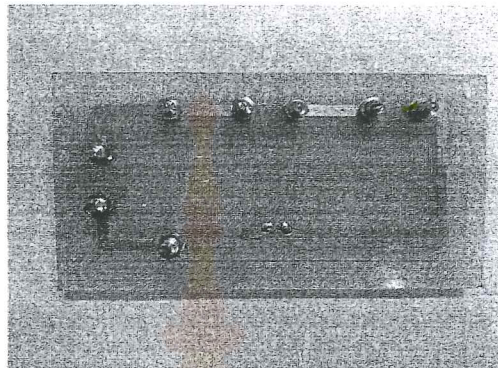
ชุดทดลอง หากความสัมพันธ์ระหว่างมุมเฟสของความต่างศักย์ของแหล่งจ่ายไฟฟ้ากระแสสลับ กับมุมเฟสของความต่างศักย์ที่คร่อม ตัวต้านทาน ตัวเก็บประจุไฟฟ้า ตัวเหนี่ยวนำ

ชุดทดลอง วงจร RLC แบบอนุกรม เพื่อหาค่าความต่างศักย์รวมของวงจร หากค่าความต่างศักย์ที่คร่อมตัวต้านทาน ตัวเหนี่ยวนำ และ ตัวเก็บประจุไฟฟ้า หาค่ากระแสไฟฟ้ารวม หากค่าความต่างศักย์รวม และ มุมเฟสของ V – I ของวงจร

ชุดทดลอง วงจร RLC แบบขนาน เพื่อหาค่าความต่างศักย์รวม หากค่ากระแสไฟฟ้าที่ไหลผ่านตัวต้านทาน ตัวเหนี่ยวนำ และ ตัวเก็บประจุไฟฟ้า หากค่ากระแสไฟฟ้ารวม หากค่าความต่างศักย์รวม และ มุมเฟสของ V – I ของวงจร

3.1.3 สร้างชุดทดลองและศึกษาผลของปัจจัยต่างๆ

สร้างชุดทดลองจากขั้นตอนที่ได้ออกแบบไว้ โดยใช้แพงวงจรที่เป็นลายพิมพ์ของวงจร ดังตัวอย่างในภาพ



รูปที่ 3.1 แสดงลายพิมพ์วงจร สำหรับการทดลอง

เพื่อป้องกันความผิดพลาดในการทดลองจากการใช้สายไฟฟ้าเชื่อมต่อวงจร และศึกษาผลต่าง ๆ ได้แก่

- (1) ผลของความถี่จากแหล่งกำเนิดไฟฟ้ากระแสสลับ ต่อความต้านทานของตัวต้านทาน (R) ความต้านทานเชิงหนึ่งยวนำ (X_L) และ ความต้านทานเชิงความจุ (X_C)
- (2) มุมเฟสระหว่างความต่างศักย์ที่คร่อมตัวแหล่งจ่ายไฟฟ้ากระแสสลับกับความต่างศักย์ที่คร่อมตัวต้านทาน ตัวเหนี่ยวนำ และ ตัวเก็บประจุไฟฟ้า
- (3) วงจร RLC แบบอนุกรม ค่าที่ต้องการศึกษา คือ ค่ากระแสไฟฟ้ารวม ความต่างศักย์ที่คร่อมตัวต้านทาน ตัวเหนี่ยวนำ และ ตัวเก็บประจุไฟฟ้า มุมเฟสระหว่าง V – I ค่าความต้านทานเชิงช้อน (Z)
- (4) วงจร RLC แบบขนาน ค่าที่ต้องการศึกษา คือ ค่าความต่างศักย์รวม กระแสไฟฟ้าที่ไหลผ่านตัวต้านทาน ตัวเหนี่ยวนำ และ ตัวเก็บประจุไฟฟ้า มุมเฟสระหว่าง V – I ค่าความต้านทานเชิงช้อนของวงจร (Z)

เมื่อบันทึกผลการทดลองแล้ว จะต้องมีการเปรียบเทียบค่าที่วัดได้กับค่าที่คำนวณจากทฤษฎีมีค่าผิดพลาดมากน้อยเพียงใด ถ้าเกิดข้อผิดพลาดจะต้องตรวจสอบและซ่อมแซม จากนั้นทำการทดลองเพื่อบันทึกค่าอีกครั้ง เมื่อปราศจากข้อผิดพลาดแล้ว จัดทำคู่มือ จัดให้มีการทดลองในห้องปฏิบัติการ และ จัดสัมมนาให้กับนักเรียนจากโรงเรียนที่สนใจ

3.1.4 อุปกรณ์และวิธีการทดลอง

อุปกรณ์

เครื่องกำเนิดสัญญาณไฟฟ้ากระแสสลับ 1 เครื่อง (แหล่งจ่ายไฟฟ้าปรับความถี่ ได้) และ แผงทดลอง



รูปที่ 3.2 แสดงเครื่องกำเนิดสัญญาณไฟฟ้ากระแสสลับ

มัลติมิเตอร์แบบดิจิตอล 3 เครื่อง (วัดค่าพื้นฐานทางไฟฟ้า)

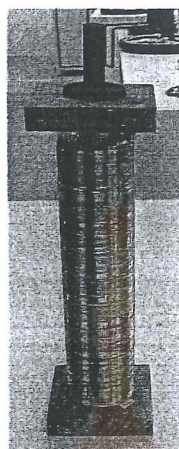
มัลติมิเตอร์แบบดิจิตอลวัดค่า RLC



รูปที่ 3.3 แสดงมัลติมิเตอร์แบบดิจิตอลวัดค่า RLC

ตัวต้านทาน $50\ \Omega$, $470\ \Omega$, $560\ \Omega$, $820\ \Omega$, $1k\Omega$, $2.2k\Omega$, $2.7\ k\Omega$ อย่างละ 1 ตัว

ตัวขดลวดเหนี่ยวนำปรับค่าได้ 1 ตัว (ใช้ศึกษาความต้านทานขดลวดเหนี่ยวนำกับความถี่)



รูปที่ 3.4 แสดงขดลวดเหนี่ยวนำ ปรับค่าความหนี่ยวนำด้วยแท่งเกราะไฟต์

ตัวเก็บประจุที่มีค่าความจุไฟฟ้า $0.47 \mu F$ 4 ตัว (ใช้ศึกษาความต้านทานตัวเก็บประจุกับความถี่)



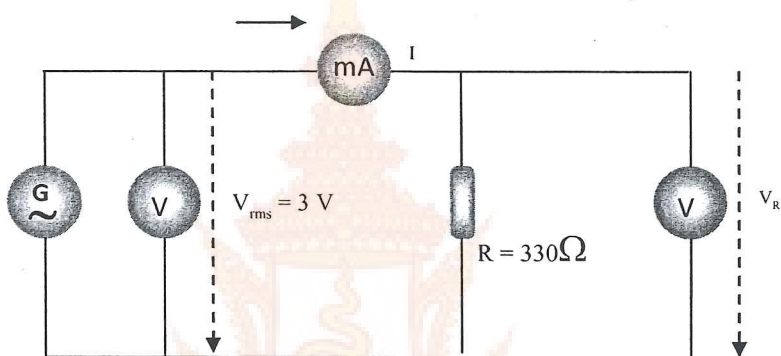
รูปที่ 3.5 ตัวเก็บประจุไฟฟ้าซึ่งติดตั้งในกล่องพลาสติกพร้อมช่องเสียบสายไฟ

3.2 วิธีการทดลอง

การทดลองที่ 1 ความสัมพันธ์ระหว่างความถี่ของไฟฟ้ากระแสสลับกับค่าความต้านทาน ของตัวต้านทาน ตัวเก็บประจุ และตัวขดลวดเหนี่ยวนำ

ตอนที่ 1.1 ความสัมพันธ์ระหว่างความถี่ของไฟฟ้ากระแสสลับกับค่าความต้านทาน

- ต่อวงจรดังรูปที่ 1 แล้วปรับแอมป์ลิจูดให้ค่าความต่างศักย์ยังผลเป็น 3 V_{rms} บันทึกค่ากระแสไฟฟ้า และความต่างศักย์คร่อมตัวต้านทาน โดยเปลี่ยนความถี่ของเครื่องกำเนิดไฟฟ้าที่ค่าต่าง ๆ กันประมาณ 5 ค่า ($400 \text{ เฮิร์ต} - 1500 \text{ เฮิร์ต}$)

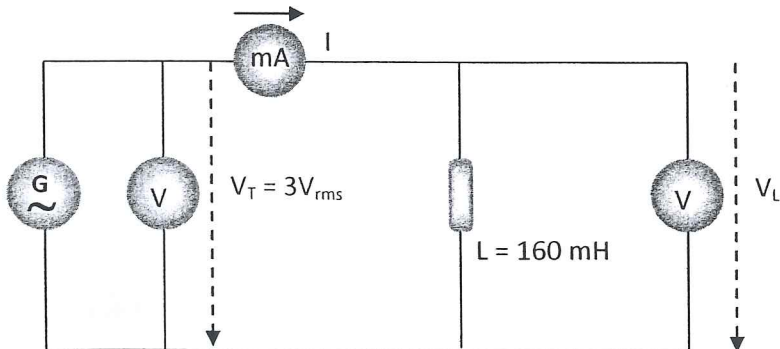


รูปที่ 3.6 แสดงวงจรการต่อความต้านทานในวงจรไฟฟ้ากระแสสลับ

- จากวงจรรูปที่ 3.6 ตั้งความถี่ไว้ที่ค่าคงที่ค่าหนึ่งและค่าความต่างศักย์ของแหล่งกำเนิดไฟฟ้าไว้ที่ 3 V หลังจากนั้นเปลี่ยนค่าความต้านทานที่ค่าต่าง ๆ กันประมาณ 5 ค่า ($400 \text{ โอม} - 3 \text{ กิโลโอม}$) เพื่อวัดค่ากระแสและความต่างศักย์ที่ผ่านตัวต้านทาน
- คำนวณค่าความต้านทานเพื่อเปรียบเทียบกับค่าความต้านทานของตัวต้านทานแต่ละค่า

ตอนที่ 1.2 ความสัมพันธ์ระหว่างความถี่ของไฟฟ้ากระแสสลับกับค่าความต้านทานของขดลวดเหนี่ยวนำ

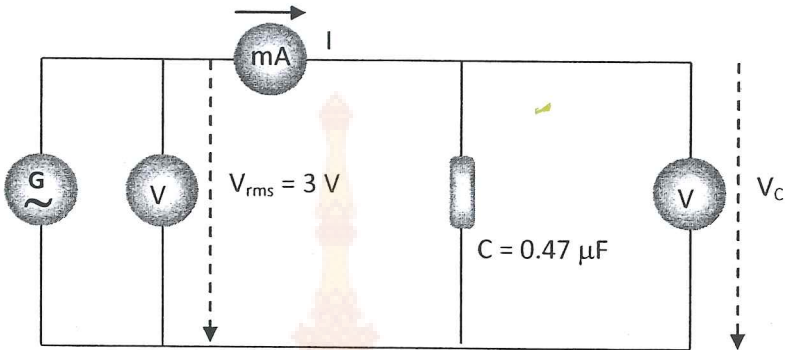
- ทำการทดลองแบบเดียวกับตอนที่ 1.1 แต่เปลี่ยนจากตัวต้านทานเป็นขดลวดเหนี่ยวนำ



รูปที่ 3.7 แสดงวงจรการต่อขดลวดเหนี่ยวนำในวงจรไฟฟ้ากระแสสลับ

ตอนที่ 1.3 ความสัมพันธ์ระหว่างความถี่ของไฟฟ้ากระแสสลับกับค่าความต้านทานของตัวเก็บประจุ

- ทำการทดลองแบบเดียวกับตอนที่ 1.1 แต่เปลี่ยนจากตัวต้านทานเป็นตัวเก็บประจุ

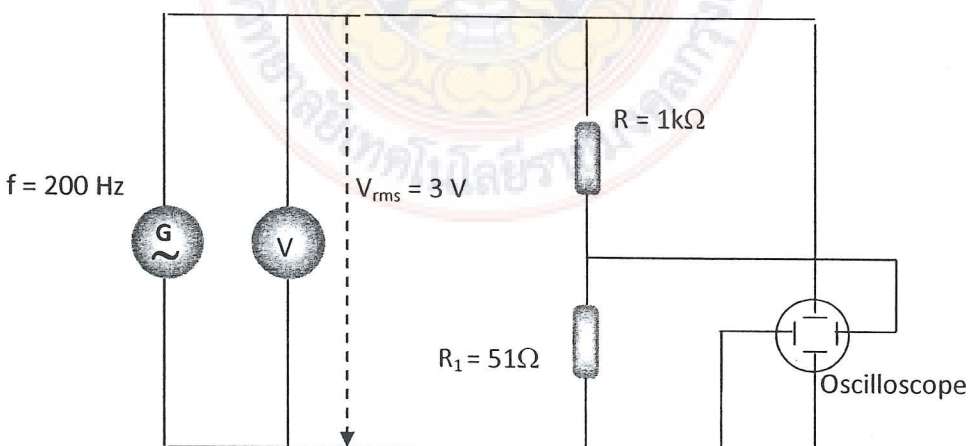


รูปที่ 3.8 แสดงวงจรการต่อตัวเก็บประจุในวงจรไฟฟ้ากระแสสลับ

การทดลองที่ 2 ความต่างเฟสระหว่างความต่างศักย์กับกระแสไฟฟ้าในวงจรไฟฟ้ากระแสสลับ

ตอนที่ 2.1 ความต่างเฟสระหว่างความต่างศักย์ต่อกันกับความต่างศักย์ต่อมตัวต้านทานกับกระแสไฟฟ้าในวงจรไฟฟ้ากระแสสลับ

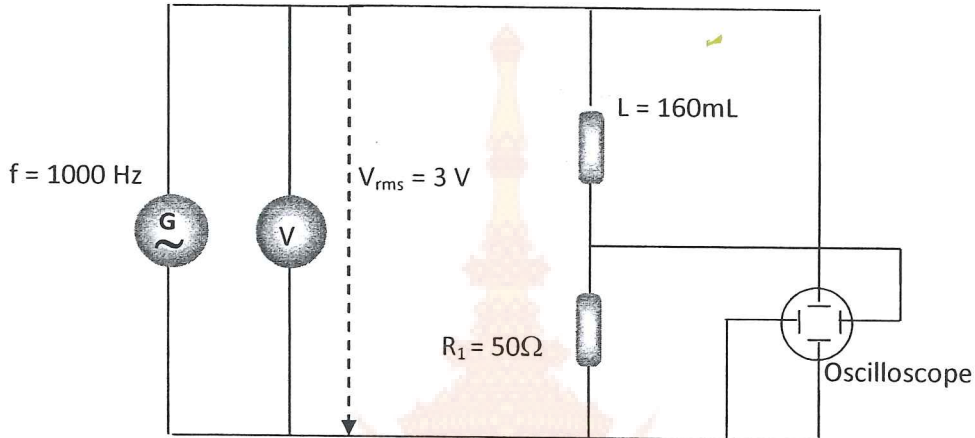
- ใช้ โปรโตบอร์ด ต่อวงจรดังรูปที่ 3.9 และใช้ออสซิลโลสโคปตรวจวัดความต่างเฟส โดย
ปรับออสซิลโลสโคป เพื่อให้สังเกตได้ชัดเจนและเจียนรูปได้ง่าย เพื่อบันทึกผลการทดลองรวมทั้ง
คำนวณความต่างเฟสที่เกิดขึ้นได้



รูปที่ 3.9 แสดงการตรวจวัดค่าความต่างเฟส (ของ $I - V$) ในตัวต้านทานในวงจรไฟฟ้ากระแสสลับ

ตอนที่ 2.2 ความต่างเฟสระหว่างความต่างศักย์ต่อกันร่วมตัวคลื่นหนึ่งยกับกระแสไฟฟ้าในวงจรไฟฟ้ากระแสสลับ

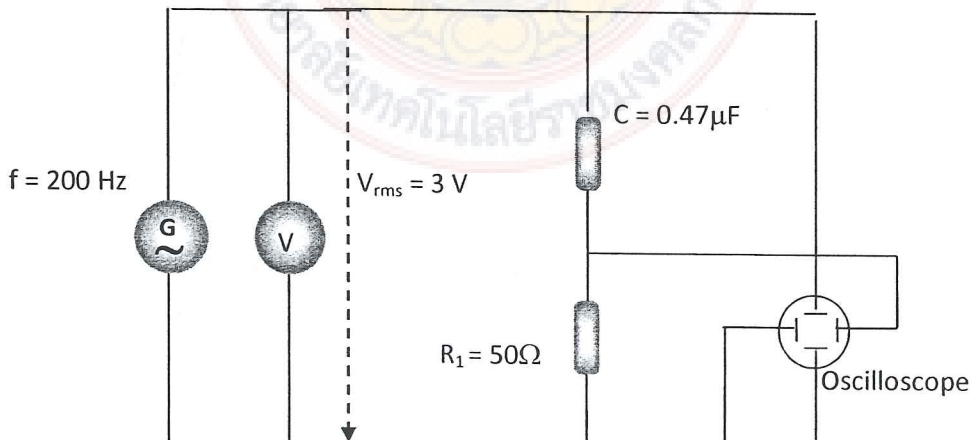
1. ทำการทดลองในแบบเดียวกับตอนที่ 2.1 เพียงแต่เปลี่ยนตัวถ่านทันเป็นตัวคลื่นหนึ่งยกังหันที่มีค่า $V_{rms} = 3 \text{ V}$ และบันทึกค่าที่ได้จากอสซิลโลสโคปและคำนวณค่าความต่างเฟสที่เกิดขึ้น



รูปที่ 3.10 แสดงการตรวจวัดค่าความต่างเฟส(ของ I – V) ในตัวคลื่นหนึ่งยกับไฟฟ้ากระแสสลับ

ตอนที่ 2.3 ความต่างเฟสระหว่างความต่างศักย์ต่อกันร่วมตัวเก็บประจุกับกระแสไฟฟ้าในวงจรไฟฟ้ากระแสสลับ

1. ทำการทดลองในแบบเดียวกับตอนที่ 2.1 เพียงแต่เปลี่ยนตัวถ่านทันเป็นตัวเก็บประจุดังรูปที่ 6 และบันทึกค่าที่ได้จากอสซิลโลสโคปและคำนวณค่าความต่างเฟสที่เกิดขึ้น

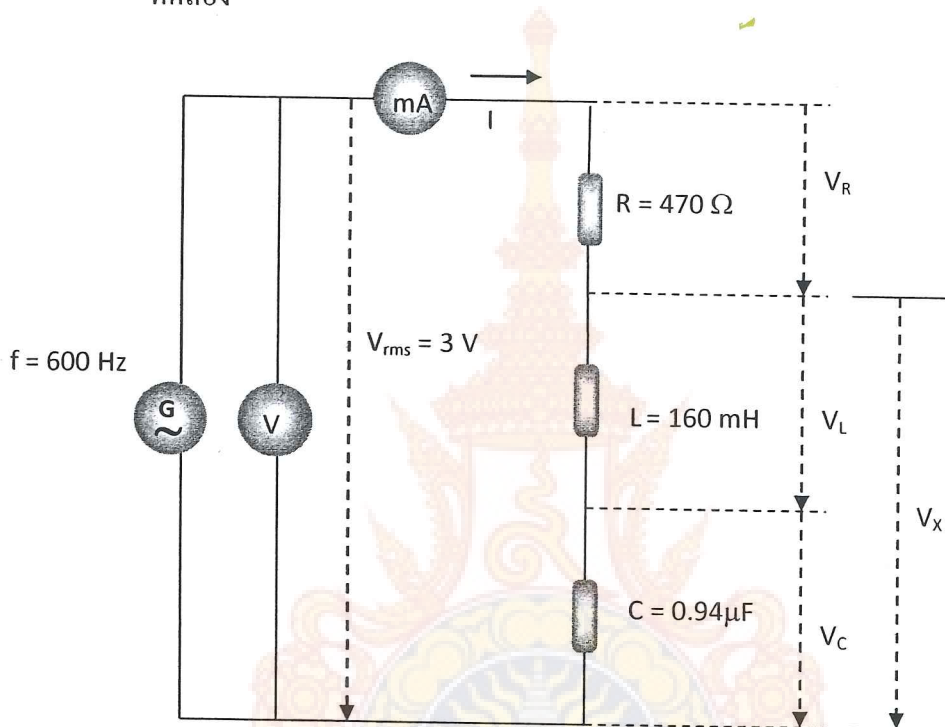


รูปที่ 3.11 แสดงการตรวจวัดค่าความต่างเฟส(ของ I – V) ในตัวเก็บประจุในวงจรไฟฟ้ากระแสสลับ

การทดลองที่ 3 การวัดค่ากระแสไฟฟ้าและความต่างศักย์ในวงจร RLC แบบอนุกรมในไฟฟ้ากระแสสลับ

ตอนที่ 3.1 การวัดค่ากระแสไฟฟ้าและความต่างศักย์ในวงจร RLC แบบอนุกรม

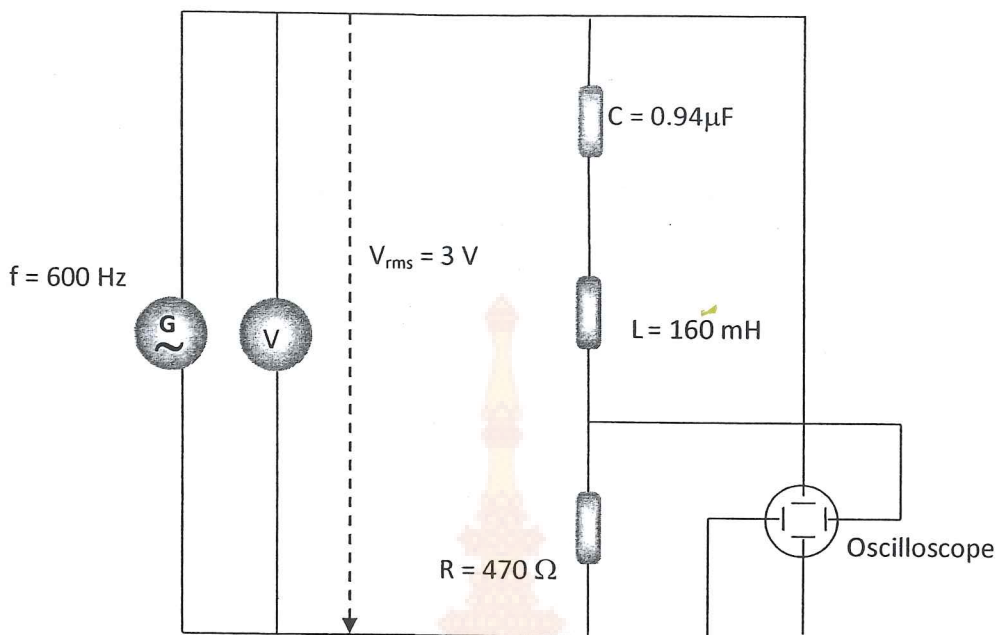
- ใช้ปอร์โตร์ดต่อวงจรดังรูปที่ 3.12 เพื่อตรวจวัดค่ากระแสไฟฟ้าและความต่างศักย์ที่ได้ ณ จุดต่าง ๆ แล้วทำการคำนวณโดยใช้ทฤษฎีเพื่อเปรียบเทียบกับผลที่ได้จากการทดลอง



รูปที่ 3.12 แสดงการต่อวงจร RLC แบบอนุกรมเพื่อตรวจวัดค่ากระแสไฟฟ้าและความต่างศักย์

ตอนที่ 3.2 การหาความต่างไฟระหว่างกระแสไฟฟ้าในวงจรกับความต่างศักย์รวมในวงจร RLC แบบอนุกรม โดยใช้ออสซิลโลสโคป

- ใช้ปอร์โตร์ด ต่อวงจรดังรูปที่ 3.13 และใช้ออสซิลโลสโคปตรวจวัดความต่างไฟส์ โดยปรับออสซิลโลสโคป เพื่อให้สังเกตได้ชัดเจนและเขียนรูปได้ง่าย เพื่อบันทึกผลการทดลองรวมทั้งคำนวณความต่างไฟส์ที่เกิดขึ้นจากออสซิลโลสโคปเพื่อเปรียบกับทฤษฎีการคำนวณ

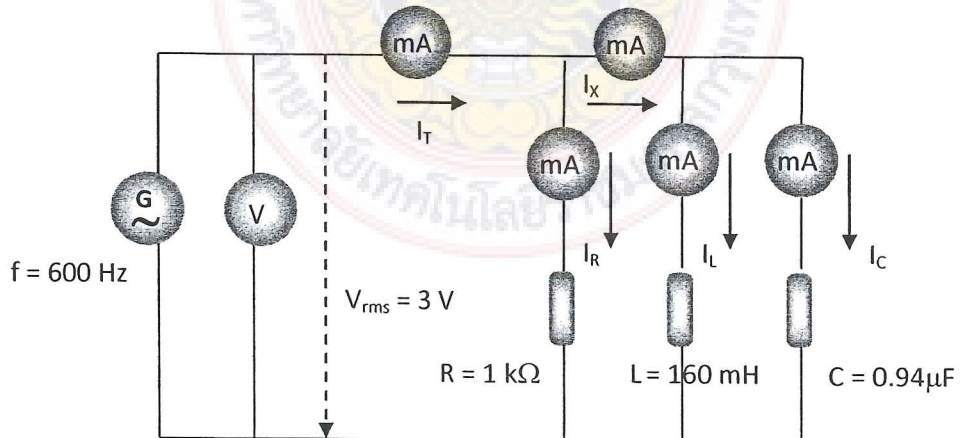


รูปที่ 3.13 แสดงการตรวจวัดค่าความต่างไฟฟ้า ($I - V$) ของ RLC แบบอนุกรมในวงจรไฟฟ้ากระแสสลับ

การทดลองที่ 4 การวิเคราะห์วงจร RLC แบบขนานในไฟฟ้ากระแสสลับ

ตอนที่ 4.1 การวัดค่ากระแสไฟฟ้าและความต่างศักย์ในวงจร RLC แบบขนาน

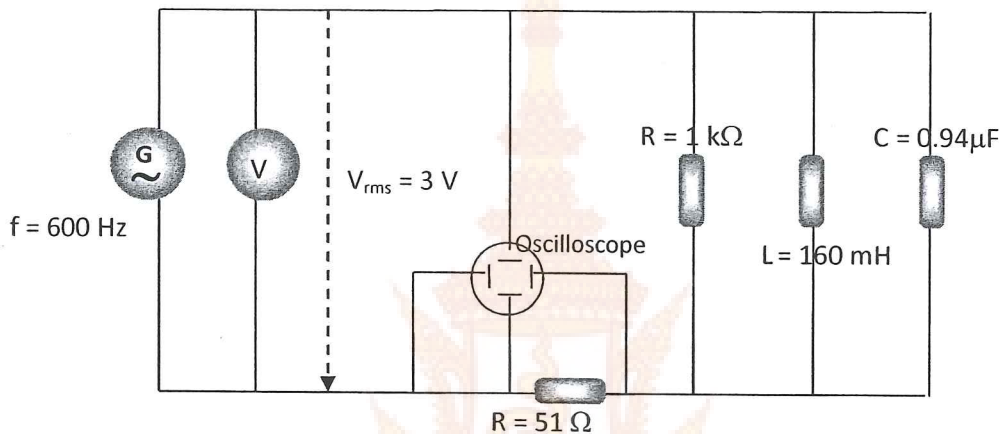
- ใช้เพียงจารต่ออุปกรณ์ดังรูปที่ 3.14 เพื่อตรวจวัดค่ากระแสไฟฟ้าและความต่างศักย์ที่ได้ ณ จุดต่าง ๆ และทำการคำนวณโดยใช้ทฤษฎีเพื่อเปรียบเทียบกับผลที่ได้จากการทดลอง



รูปที่ 3.14 แสดงการต่อวงจร RLC แบบขนานเพื่อตรวจวัดค่ากระแสไฟฟ้าและความต่างศักย์

ตอนที่ 4.2 การหาความต่างเพรสสูงกระแสงไฟฟ้าในวงจรกับความต่างศักย์รวมในวงจร RLC แบบขนาน โดยใช้ออสซิลโลสโคป

1. ใช้บอร์ด ต่อวงจรดังรูปที่ 3.15 และใช้ออสซิลโลสโคปตรวจความต่างเฟส โดยปรับ ออสซิลโลสโคป เพื่อให้สังเกตได้ชัดเจนและเบียนรูปได้ง่าย เพื่อบันทึกผลการทดลองรวมทั้ง คำนวณความต่างเฟสที่เกิดขึ้นจากออสซิลโลสโคปเพื่อกับทฤษฎีการคำนวณ



รูปที่ 3.15 แสดงการตรวจวัดค่าความต่างเฟส ($I - V$) ของ RLC แบบขนานในวงจรไฟฟ้ากระแสสลับ

บทที่ 4

ผลการวิจัย

การทดลองตอนที่ 1 ความสัมพันธ์ระหว่างความถี่ของไฟฟ้ากระแสสลับกับค่าความต้านทาน ความต้านทานเชิงเหนี่ยวน์ และ ความต้านทานเชิงความจุ

1.1 ความสัมพันธ์ระหว่างความถี่ของไฟฟ้ากระแสสลับกับค่าความต้านทาน



รูปที่ 4.1 แสดงการต่อตัวต้านทานกับแจ้งว่างเพื่อวัดค่ากระแสไฟฟ้าและความต่างศักย์

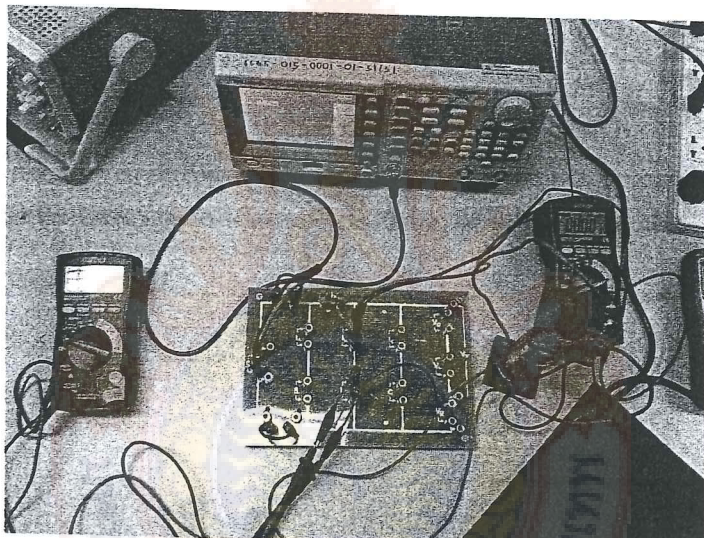
ตารางที่ 4.1 แสดงความสัมพันธ์ระหว่างความถี่และความต้านทาน (ใช้ตัวต้านทาน 330 โอห์ม)

	f(Hz)	200	400	600	800	1000	1200
ค่าที่ได้จาก การวัด	I(mA)	9.22	9.22	9.22	9.21	9.20	9.19
	V _R (V)	3.005	3.001	3.00	2.982	2.968	2.953
ค่าที่ได้จาก การคำนวณ	R=V _R /I (Ω)	325.92	325.48	325.38	323.78	322.61	321.33

ตารางที่ 4.2 แสดงความความต้านทาน hely ค่ากับความถี่จากแหล่งกำเนิดสัญญาณคงที่ (ใช้ความถี่ 1000 เฮิรตซ์)

	$R(\Omega)$	330	550	680	1000	2000	2780
ค่าที่ได้จากการวัด	$I(mA)$	9.73	5.50	5.01	3.06	1.53	1.11
	$V_R(V)$	3.05	3.011	3.006	3.00	3.00	3.04
ค่าที่ได้จากการคำนวณ	$R = V_R/I$ (Ω)	311.86	547.45	600	980.39	1960.78	2738.73

1.2 ความสัมพันธ์ระหว่างความถี่ของไฟฟ้ากระแสสลับกับค่าความต้านทานเชิงเห็นี่ยวนำ



รูปที่ 4.2 แสดงการต่อขดลวดเห็นี่ยวนำกับแรงดันเพื่อวัดค่ากระแสไฟฟ้าและความต้านทานเชิงเห็นี่ยวนำ

ตารางที่ 4.3 แสดงความสัมพันธ์ระหว่างความถี่และความต้านทานเชิงเห็นี่ยวนำ (ใช้ $L = 300 \text{ mH}$)

	$f(Hz)$	600	800	1000	1200	1400	1600
ค่าที่ได้จากการวัด	$I(mA)$	2.69	2.02	1.60	1.32	1.11	0.96
	$V_L(V)$	3.005	3.003	2.994	2.98	2.963	2.944
ค่าที่ได้จากการคำนวณ	$X_L = V_L/I$ (Ω)	1117.10	1486.63	1871.25	2257.57	2669.36	3066.66
	$X_L = 2\pi fL$ (Ω)	1130.97	1507.96	1884.95	2261.95	2638.94	3015.93

ตารางที่ 4.4 แสดงความความหนึ่งนำพาด้วยค่ากับความถี่จากแหล่งกำเนิดสัญญาณคงที่
(ใช้ความถี่ 600 เอิร์ตซ์)

	L(mH)	110	120	150	200	240	300
ค่าที่ได้จากการวัด	I(mA)	6.97	6.51	5.32	4.05	3.44	2.78
	V _L (V)	3.004	3.023	3.041	3.077	3.090	3.101
ค่าที่ได้จากการคำนวณ	X _L =V _L /I (Ω)	430.98	464.36	571.62	759.75	898.25	1115.46
	X _L = 2πfL (Ω)	414.69	452.38	565.48	753.98	904.78	1130.97

1.3 ความสัมพันธ์ระหว่างความถี่ของไฟฟ้ากระแสสลับกับค่าความต้านทานเชิงความจุ



รูปที่ 4.3 แสดงการต่อตัวเก็บประจุไฟฟ้ากับแรงดันเพื่อวัดค่ากระแสไฟฟ้าและความต่างศักย์

ตารางที่ 4.5 แสดงความสัมพันธ์ระหว่างความถี่และความต้านทานเชิงหนี่ยว์ความจุ
(ใช้ $C = 0.47 \text{ } \mu\text{F}$)

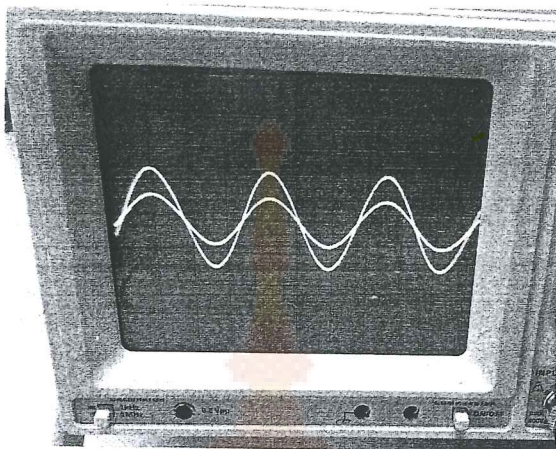
	f(Hz)	200	300	400	500	600	800
ค่าที่ได้จาก การวัด	I(mA)	1.73	2.60	3.47	4.33	5.19	6.89
	V _L (V)	3.002	2.998	2.992	2.984	2.975	2.953
ค่าที่ได้จาก การคำนวณ	X _C =V _C /I (Ω)	1735.26	1153.07	862.25	689.15	573.22	428.59
	X _C =1/(2 π fC) (Ω)	1693.14	1128.76	846.56	677.25	564.38	423.28

ตารางที่ 4.6 แสดงความความจุไฟฟ้าหมายค่ากับความถี่จากแหล่งกำเนิดสัญญาณคงที่ (ใช้ความถี่
600 เฮิรตซ์)

	C(μF)	0.117	0.235	0.470	0.940	1.41	1.88
ค่าที่ได้จาก การวัด	I(mA)	1.74	2.60	5.19	10.24	15.17	19.60
	V _C (V)	2.988	2.986	2.975	2.904	2.858	2.767
ค่าที่ได้จาก การคำนวณ	X _C =V _C /I (Ω)	1717.24	1148.46	573.22	283.59	188.40	141.17
	X _C =1/(2 π fC) (Ω)	2267.16	1128.75	564.38	282.19	188.13	141.09

การทดลองตอนที่ 2 ความต่างเฟสระหว่างความต่างศักย์กับกระแสไฟฟ้าในวงจรไฟฟ้ากระแสสลับ

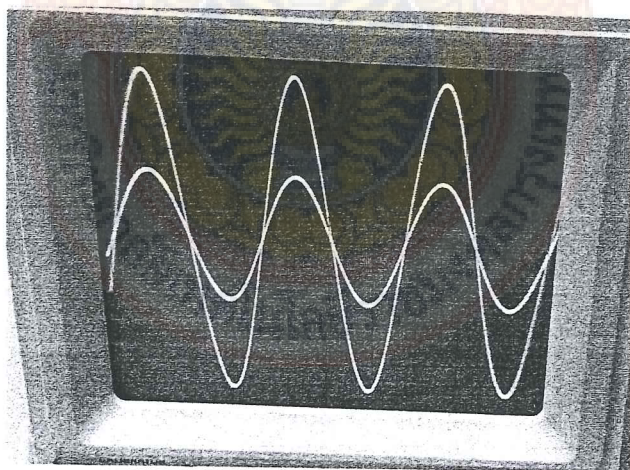
2.1 ความต่างเฟสระหว่างความต่างศักย์ต่อกรุ่นตัวต้านทานกับกระแสไฟฟ้าในวงจรไฟฟ้ากระแสสลับ



รูปที่ 4.4 ความต่างเฟสระหว่างความต่างศักย์ต่อกรุ่นตัวต้านทานกับกระแสไฟฟ้าในวงจรไฟฟ้า

ความต่างเฟสระหว่างคลื่นรูปไข่นี้ทั้งสอง = 90 องศา

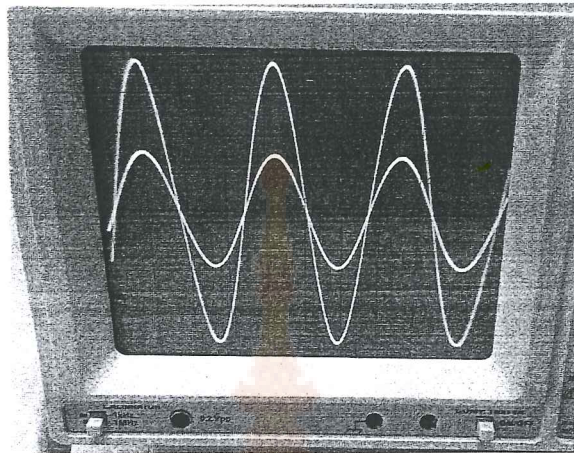
2.2 ความต่างเฟสระหว่างความต่างศักย์ต่อกรุ่นตัวเหนี่ยวนำกับกระแสไฟฟ้าในวงจรไฟฟ้ากระแสสลับ



รูปที่ 4.5 ความต่างเฟสระหว่างความต่างศักย์ต่อกรุ่นตัวเหนี่ยวนำกับกระแสไฟฟ้าในวงจรไฟฟ้า

ความต่างเฟสระหว่างคลื่นรูปไข่นี้ทั้งสอง = 90 องศา

2.3 ความต่างเฟสระหว่างความต่างศักย์ต่อกันร่วมตัวเก็บประจุไฟฟ้ากับกระแสไฟฟ้าในวงจรไฟฟ้ากระแสสลับ



รูปที่ 4.6 ความต่างเฟสระหว่างความต่างศักย์ต่อกันร่วมตัวเก็บประจุไฟฟ้ากับกระแสไฟฟ้าในวงจรไฟฟ้า

ความต่างเฟสระหว่างคลื่นรูปไข่น้ำทั้งสอง = 90.....องศา

การทดลองตอนที่ 3 วงจร RLC อนุกรม

3.1 การวัดกระแสไฟฟ้าและความต่างศักย์

ตารางที่ 4.7 แสดงกระแสไฟฟ้า ความต่างศักย์ และ มุมเฟสระหว่าง $V - I$ ของวงจร RLC แบบอนุกรม

	$V_T(V_{rms})$	I(mA)	$V_R(V)$	$V_L(V)$	$V_C(V)$	$V_X(V)$	$\phi(\text{องศา})$
ค่าที่ได้จากการวัด	4.88	3.98	3.85	2.43	4.41	2.12	27.27
ค่าได้จากการคำนวณ	4.88	4.32	4.32	2.61	4.87	2.26	27.62

การคำนวณ

$$\text{ความต้านทานเชิงช่อง} \quad Z = \sqrt{R^2 + (X_L - X_C)^2}$$

$$\text{ค่าความต้านทานเชิงเหนี่ยวนำ} \quad X_L = 2\pi f L$$

$$\text{แทนค่า} \quad X_L = 2\pi(600)(160 \times 10^{-3}) = 603.18 \quad \text{โอห์ม}$$

ความต้านทานเชิงความจุ

$$X_C = \frac{1}{2\pi f C}$$

แทนค่า

$$X_C = \frac{1}{2\pi(600)(0.235 \times 10^{-6})} = 1128.75 \text{ โอห์ม}$$

ดังนั้น

$$Z = \sqrt{(1000)^2 + (603.18 - 1128.75)^2} = 1130 \text{ โอห์ม}$$

หาค่ากระแสไฟฟ้ารวม

$$I = \frac{V}{Z} = \frac{4.88}{1130} = 4.32 \times 10^{-3} \text{ แอมเปอร์}$$

วงจรอนุกรม กระแสไฟฟ้าที่ไหลผ่านอุปกรณ์แต่ละชนิดมีค่าเท่ากันและเท่ากับกระแสไฟฟ้ารวม = 4.32 มิลลิเอมเปอร์

ความต่างศักย์คร่อมตัวต้านทาน $V_R = IR$

แทนค่า

$$V_R = (4.32 \times 10^{-3})(1000) = 4.32 \text{ โวลต์}$$

ความต่างศักย์คร่อมตัวเหนี่ยวนำ $V_L = IX_L$

แทนค่า

$$V_L = (4.32 \times 10^{-3})(603.18) = 2.61 \text{ โวลต์}$$

ความต่างศักย์คร่อมตัวเหนี่ยวนำ $V_C = IX_C$

แทนค่า

$$V_C = (4.32 \times 10^{-3})(1128.75) = 4.87 \text{ โวลต์}$$

ความต่างศักย์คร่อมตัวเหนี่ยวนำและตัวเก็บประจุไฟฟ้า

$$V_x = V_C - V_L = 4.87 - 2.61 = 2.26 \text{ โวลต์}$$

ความต่างศักย์ไฟฟ้ารวม $V = \sqrt{V_R^2 + (V_L - V_C)^2}$

แทนค่า

$$V = \sqrt{(4.32)^2 + (2.26)^2} = 4.88 \text{ โวลต์}$$

มุมไฟส

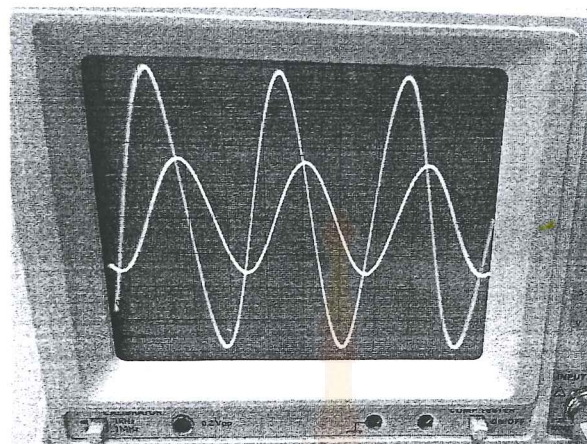
$$\tan \phi = \frac{V_C - V_L}{V_R}$$

$$\phi = \tan^{-1} \left(\frac{V_C - V_L}{V_R} \right)$$

แทนค่า

$$\phi = \tan^{-1} \left(\frac{2.26}{4.32} \right) = 27.62^\circ$$

3.2 การหาความต่างเพรสสระห่วงกระแสไฟฟ้ารวม กับ ความต่างศักย์โดยใช้ออสซิลโลสโคป



รูปที่ 4.7 แสดงแผนภาพความต่างเพรสสระห่วงกระแสไฟฟ้ารวม กับ ความต่างศักย์ของวงจร RLC อนุกรม

ความต่างเพรสสระห่วงคลื่นรูปไข่ทั้งสอง = 27.27 องศา

$$\begin{array}{l} \text{จากแผนภาพ} \quad \text{ความยาวคลื่น} \quad 3.3 \quad \text{ช่อง} = \quad 360 \quad \text{องศา} \\ \text{ความต่างเพส} \quad 0.25 \quad \text{ช่อง} = \quad \frac{0.25 \times 360}{3.3} = 27.27 \quad \text{องศา} \end{array}$$

การทดลองตอนที่ 4 วงจร RLC ขนาน

4.1 การวัดกระแสไฟฟ้าและความต่างศักย์

ตารางที่ 4.8 แสดงกระแสไฟฟ้า ความต่างศักย์ และ มุมเพรสสระห่วง $V - I$ ของวงจร RLC แบบขนาน

	$V_T(V_{rms})$	$I_T(mA)$	$I_R(V)$	$I_L(V)$	$I_C(V)$	$I_x(V)$	$\phi(\text{องศา})$
ค่าที่ได้จากการวัด	4.83	11.93	4.94	7.89	17.57	9.93	67.5
ค่าที่ได้จากการคำนวณ	4.83	10.31	4.83	8.01	17.12	9.11	62.1

วงจรขนาดค่าความต่างศักย์ที่คร่อมอุปกรณ์แต่ละตัวมีค่าเท่ากันและเท่ากับความต่างศักย์รวม = 4.83 โวลต์

$$\text{ความต้านทานเชิงซ้อน} \quad \frac{1}{Z} = \sqrt{\frac{1}{R^2} + \left(\frac{1}{X_C} - \frac{1}{X_L} \right)^2}$$

$$\text{ค่าความต้านทานเชิงเหนี่ยวนำ} \quad X_L = 2\pi f L$$

$$\text{แทนค่า} \quad X_L = 2\pi(600)(160 \times 10^{-3}) = 603.18 \quad \text{โอห์ม}$$

$$\text{ความต้านทานเชิงความจุ} \quad X_C = \frac{1}{2\pi f C}$$

$$\text{แทนค่า} \quad X_C = \frac{1}{2\pi(600)(0.94 \times 10^{-6})} = 282.18 \quad \text{โอห์ม}$$

$$\text{ดังนั้น} \quad \frac{1}{Z} = \sqrt{\frac{1}{R^2} + \left(\frac{1}{X_C} - \frac{1}{X_L} \right)^2}$$

$$\text{แทนค่า} \quad \frac{1}{Z} = \sqrt{\frac{1}{(1000)^2} + \left(\frac{1}{282.12} - \frac{1}{603.18} \right)^2}$$

$$\frac{1}{Z} = 2.135 \times 10^{-3}$$

$$\text{เพรำณนั้น} \quad Z = 468.31 \quad \text{โอห์ม}$$

$$\text{หาค่ากระแสไฟฟ้ารวม} \quad I = \frac{V}{Z} = \frac{4.83}{468.31} = 10.31 \times 10^{-3} \quad \text{แอมเปอร์}$$

$$\text{กระแสไฟฟ้าที่ไฟหล่อก่านตัวต้านทาน} \quad I_R = \frac{V}{R} = \frac{4.83}{1000} = 4.83 \times 10^{-3} \quad \text{แอมเปอร์}$$

$$\text{กระแสไฟฟ้าที่ไฟหล่อก่านตัวเหนี่ยวนำ} \quad I_L = \frac{V}{X_L} = \frac{4.83}{603.18} = 8.01 \times 10^{-3} \quad \text{แอมเปอร์}$$

$$\text{กระแสไฟฟ้าที่ไฟหล่อก่านตัวเก็บประจุ} \quad I_C = \frac{V}{X_C} = \frac{4.83}{282.12} = 17.12 \times 10^{-3} \quad \text{แอมเปอร์}$$

$$\text{กระแสไฟฟ้า } I_X \quad I_X = I_C - I_L = (17.12 - 8.01) \times 10^{-3}$$

$$\text{เพรำณนั้น} \quad I_X = 9.11 \times 10^{-3} \quad \text{แอมเปอร์}$$

มูมเฟสระหว่างความต่างศักย์และกระแสไฟฟ้า

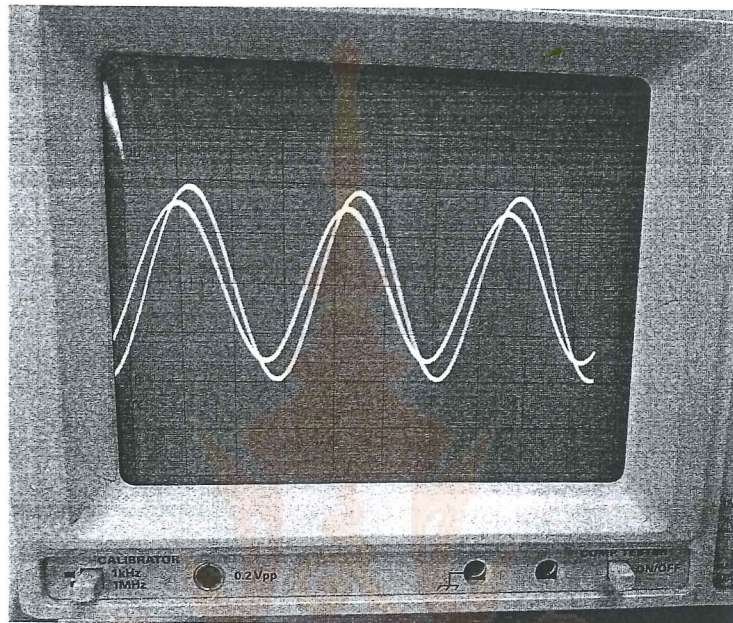
$$\tan \phi = \frac{I_C - I_L}{I_R}$$

$$\phi = \tan^{-1} \left(\frac{I_C - I_L}{I_R} \right)$$

แทนค่า

$$\phi = \tan^{-1} \left(\frac{17.12 - 8.01}{4.83} \right) = 62.1 \quad \text{องศา}$$

4.2 การหาความต่างเฟสระหว่างกระแสไฟฟ้ารวม กับ ความต่างศักย์โดยใช้ออสซิลโลสโคป



รูปที่ 4.8 แสดงแผนภาพความต่างเฟสระหว่างกระแสไฟฟ้ารวม กับ ความต่างศักย์สำหรับวงจรขานาน

ความต่างเฟสระหว่างคลื่นรูปไข่นี้ทั้งสอง = 67.5 องศา

จากแผนภาพ ความยาวคลื่น 3.2 ช่อง = 360 องศา

$$\text{ความต่างเฟส} = \frac{0.6 \times 360}{3.2} = 67.5 \quad \text{องศา}$$

หน่วยที่ 5

สรุปผลการวิจัยและข้อเสนอแนะ

การทดลองตอนที่ 1 ความสัมพันธ์ระหว่างความถี่ของไฟฟ้ากระแสสลับกับค่าความด้านท่าน ความด้านท่านเชิงเห็นี่ยวนำ และ ความด้านท่านเชิงความจุ

1.1 ความสัมพันธ์ระหว่างความถี่ของไฟฟ้ากระแสสลับกับค่าความด้านท่าน

ตอนที่ 1 เมื่อใช้ตัวด้านท่าน 330 โอม

จากการทดลองเมื่อปรับค่าความถี่เป็น 200, 400, 600, 800, 1000 และ 1200 เฮิรตซ์ ตามลำดับ ทำให้ความด้านท่านที่คำนวณจะคงตัวคือประมาณ 320 โอม ซึ่งมีค่าใกล้เคียงกับค่าความด้านท่านที่ใช้ในการทดลอง ซึ่งพบว่าค่าความถี่ไม่มีผลต่อค่าความด้านท่าน

ตอนที่ 2 เมื่อใช้ความถี่ 1000 เฮิรตซ์

จากการทดลองเมื่อตั้งค่าความถี่จากเครื่องกำเนิดไฟฟ้ากระแสสลับคงที่ 1000 เฮิรตซ์ โดยเปลี่ยนค่าความด้านท่านเป็นต่าต่าง ๆ คือ 330, 550, 680, 1000, 2000 และ 2780 โอม ค่าความด้านท่านที่คำนวณได้จากกฎของโอมสำหรับค่าความด้านท่านแต่ละตัวคือ 311.86, 547.45, 600, 980.39, 1960.78 และ 2738.73 โอม ตามลำดับ

1.2 ความสัมพันธ์ระหว่างความถี่ของไฟฟ้ากระแสสลับกับค่าความด้านท่านเชิงเห็นี่ยวนำ

ตอนที่ 3 เมื่อใช้ค่าความเห็นี่ยวนำ (L) = 300 มิลลิเมตร

จากการทดลองเมื่อปรับค่าความถี่เป็น 600, 800, 1000, 1200, 1400 และ 1600 เฮิรตซ์ ตามลำดับ โดยที่ค่าความเห็นี่ยวนำคงที่คือ 330 มิลลิเมตร ผลปรากฏว่าค่าความด้านท่านเชิงเห็นี่ยวนำ (X_L) จะมีการเปลี่ยนแปลงค่าตามความถี่โดยได้ผลการทดลองดังนี้ 1130.97, 1507.96, 1884.95, 2261.95, 2638.94 และ 3015.93 โอม ตามลำดับ ซึ่งพบว่าค่าความด้านท่านเชิงเห็นี่ยวนามีค่าเพิ่มขึ้นเมื่อเพิ่มค่าความถี่จากแหล่งกำเนิดสัญญาณไฟฟ้ากระแสสลับ

ตอนที่ 4 เมื่อใช้ความถี่ 600 เฮิรตซ์

การทดลองในตอนที่ 4 เปลี่ยนค่าความถี่ยวนำเป็นค่าต่าง ๆ คือ 110, 120, 150, 200, 240, 300 โดยที่ใช้ค่าความถี่จากแหล่งกำเนิดคงตัวคือ 600 เฮิรตซ์ จากการทดลองพบว่าค่าความต้านทานเชิงหนึ่งยวนำเมื่อคำนวณโดยใช้กฎของโอล์มและค่า $X_L = 2\pi fL$ ผลปรากฏดังตารางข้างล่างนี้

ตารางที่ 5.1 แสดงผลของค่าความต้านทานเชิงหนึ่งยวนำเมื่อคำนวณด้วยกฎของโอล์ม และ $X_L = 2\pi fL$

$X_L = V_L/I (\Omega)$	430.98	464.36	571.62	759.75	898.25	1115.46
$X_L = 2\pi fL (\Omega)$	414.69	452.38	565.48	753.98	904.78	1130.97

1.3 ความสัมพันธ์ระหว่างความถี่ของไฟฟ้ากระแสสลับกับค่าความต้านทานเชิงความจุ

ตอนที่ 5 (ใช้ $C = 0.47 \text{ ไมโครฟาร์ด}$)

จากการทดลองเมื่อปรับค่าความถี่เป็น 200, 300, 400, 500, 600 และ 800 เฮิรตซ์ ตามลำดับ โดยใช้ค่าความจุไฟฟ้า 0.47 ไมโครฟาร์ด ค่าความต้านทานเชิงความจุ (X_C) เมื่อคำนวณโดยใช้กฎของโอล์ม และ $X_C = \frac{1}{2\pi fC}$ ได้ผลดังตารางที่ 5.2

ตารางที่ 5.2 แสดงผลของค่าความต้านทานเชิงความจุไฟฟ้าเมื่อคำนวณด้วยกฎของโอล์ม และ $X_C = \frac{1}{2\pi fC}$ โดยที่ค่าความจุไฟฟ้าคงตัว

$X_C = V_C/I (\Omega)$	1735.26	1153.07	862.25	689.15	573.22	428.59
$X_C = 1/(2\pi fC) (\Omega)$	1693.14	1128.76	846.56	677.25	564.38	423.28

จากตารางที่ 5.2 พบว่าเมื่อความถี่เพิ่มขึ้นค่าความต้านทานเชิงความจุไฟฟ้าจะมีค่าลดลง

ตอนที่ 6 เมื่อใช้ความถี่ 600 เอิรตซ์

การทดลองใช้ค่าความถี่จากแหล่งกำเนิดไฟฟ้ากระแสสลับคงที่ 600 เอิรตซ์ แต่เปลี่ยนค่าความจุไฟฟ้าเป็น 0.117, 0.235, 0.470, 0.940, 1.41, 1.88 ในโครฟาร์คตามลำดับ จากการทดลองเพื่อหาค่าความต้านทานเชิงความจุไฟฟ้า (X_C) โดยใช้กฎของโอดัมและจาก $X_C = \frac{1}{2\pi fC}$ จะได้ผลดังตารางที่ 5.3

ตารางที่ 5.3 แสดงค่าความต้านทานเชิงความจุไฟฟ้า (X_C) เมื่อคำนวณโดยใช้กฎของโอดัมและ $X_C = \frac{1}{2\pi fC}$ เมื่อใช้ความถี่จากแหล่งกำเนิดสัญญาณไฟฟ้ากระแสสลับคงที่ที่ 600 เอิรตซ์

$X_C = V_c/I (\Omega)$	1717.24	1148.46	573.22	283.59	188.40	141.17
$X_C = 1/(2\pi fC) (\Omega)$	2267.16	1128.75	564.38	282.19	188.13	141.09

ตอนที่ 2

การทดลองตอนที่ 2 ความต่างเฟสระหว่างความต่างศักย์กับกระแสไฟฟ้าในวงจรไฟฟ้ากระแสสลับ

2.1 ความต่างเฟสระหว่างความต่างศักย์ต่อกันร่วมตัวต้านทานกับกระแสไฟฟ้าในวงจรไฟฟ้ากระแสสลับ

จากการทดลองพบว่าความต่างเฟสระหว่างคลื่นรูปไซน์ทั้งสอง = 90 องศา

2.2 ความต่างเฟสระหว่างความต่างศักย์ต่อกันร่วมตัวเหนี่ยวนำกับกระแสไฟฟ้าในวงจรไฟฟ้ากระแสสลับ

จากการทดลองพบว่าความต่างเฟสระหว่างคลื่นรูปไซน์ทั้งสอง = 90 องศา

2.3 ความต่างเฟสระหว่างความต่างศักย์ต่อกันร่วมตัวเก็บประจุไฟฟ้ากับกระแสไฟฟ้าในวงจรไฟฟ้ากระแสสลับ

จากการทดลองพบว่าความต่างเฟสระหว่างคลื่นรูปไซน์ทั้งสอง = 90 องศา

การทดลองตอนที่ 3 วงจร RLC อนุกรม

ตารางที่ 5.4 แสดงค่าของกระแสไฟฟ้า ความต่างศักย์คร่อมตัวต้านทาน ตัวเหนี่ยวนำ และ ตัวเก็บประจุไฟฟ้า และ ความต่างเฟส สำหรับวงจร RLC แบบอนุกรม

	$V_T(V_{rms})$	$I(mA)$	$V_R(V)$	$V_L(V)$	$V_C(V)$	$V_X(V)$	$\phi(\text{องศา})$
ค่าที่ได้จากการวัด	4.88	3.98	3.85	2.43	4.41	2.12	27.27
ค่าได้จากการคำนวณ	4.88	4.32	4.32	2.61	4.87	2.26	27.62

จากผลการทดลองพบว่ากระแสไฟฟ้าที่ไหลผ่านตัวต้านทาน ตัวเหนี่ยวนำ และ ตัวเก็บประจุไฟฟ้า จะมีค่าเท่ากัน ส่วนค่าความต่างศักย์ที่คร่อมตัวเก็บประจุไฟฟ้า ตัวต้านทาน และ ตัวเหนี่ยวนำ จะมีค่าใกล้เคียงกันทั้งการวัดและการคำนวณจากการใช้กฎของโอล์ม ดังแสดงในตารางที่ 5.4

ในส่วนของความต่างเฟสของวงจร RLC อนุกรม จากการวัดโดยการใช้ Oscilloscope และ การคำนวณจะมีค่าใกล้เคียงกัน ดังตาราง 5.4

การทดลองตอนที่ 4 วงจร RLC ขนาน

ตารางที่ 5.5 แสดงค่าของกระแสไฟฟ้า ความต่างศักย์คร่อมตัวต้านทาน ตัวเหนี่ยวนำ และ ตัวเก็บประจุไฟฟ้า และ ความต่างเฟส สำหรับวงจร RLC แบบขนาน

	$V_T(V_{rms})$	$I_T(mA)$	$I_R(V)$	$I_L(V)$	$I_C(V)$	$I_X(V)$	$\phi(\text{องศา})$
ค่าที่ได้จากการวัด	4.83	11.93	4.94	7.89	17.57	9.93	67.5
ค่าได้จากการคำนวณ	4.83	10.31	4.83	8.01	17.12	9.11	62.1

จากผลการทดลองพบว่าความต่างศักย์คร่อมตัวต้านทาน ตัวเหนี่ยวนำ และ ตัวเก็บประจุไฟฟ้าจะมีค่าเท่าแตกต่างกันดังแสดงในตารางที่ 5.5 ส่วนค่าความต่างศักย์ที่คร่อมตัวเก็บประจุไฟฟ้า ตัวต้านทาน และ ตัวเหนี่ยวนำ จะมีค่าแตกต่างกันขึ้นอยู่กับชนิดของอุปกรณ์ที่ทำการวัดค่าความต่างศักย์ และ ความต่างเฟสที่ได้จากการวัดจาก Oscilloscope กับการคำนวณจะมีค่าใกล้เคียงกัน

บรรณานุกรม

1. Gibilisco, Stan. **Electricity Experiments: You can do at home.** New York : McGraw Hill, 2010
2. Jepson, Brian, Moskowitz, Tyler and Hayes, Gregory. **Learn to Solder.** O'Rally Media, USA, 2012
3. Whitaker, Jerry C. **Handbook of Electronics.** Second edition, Taylor & Francis Group, LLC, USA, 2005
4. Gates, Earl D. **Introduction to Electronics.** Fifth edition, Delmar Cengage learning, USA, 2007
5. Hayt, William H., Kemmerly, Jack E. and Durbin, Steven M. **Engineering Circuit Analysis.** Eighth edition, New York: McGraw Hill, 2007
6. Patrick B. Kohl and H. Vincent Kuo., **Chronicling a successful secondary implementation of Studio Physics.** American Journal of Physics , September 2012 , Volume 80, Issue 9, pp. 832
7. Angel L. Pérez Rodríguez, Juan José Peña Bernal, and Benito Mahedero Balsara, **Electronic device of didactic and electrometric interest for the study of RLC circuits,** American Journal of Physics, February 1979 Volume 47, Issue 2, pp. 178
8. Yaakov Kraftmakher, **Demonstrations with an LCR circuit,** Physics Teacher Vol.49 March 2011
9. Ramachandran, V. **Revisiting the LCR circuit,** Physics Education Vol.26, No.318 1991
10. ฉุชน แก่นต้น ปฏิบัติการวงจรไฟฟ้ากระแสสลับ พิมพ์ครั้งที่ 3 กรุงเทพฯ : สำนักพิมพ์ ฟิสิกส์เซ็นเตอร์ 2540